الجمهورية الجزائرية الديمقراطية الشعبية

Centre National de recherche appliquée en Génie Parasismique - CGS -



المركز الوطني للبحث المطبق في هندسة مقاومة الزلازل

Équipe : EMPC/DGS

CONTRIBUTION POUR L'ÉTUDE DE LA PERFORMANCE SISMIQUE DES CADRES EN BÉTON ARMÉ AVEC REMPLISSAGE EN MAÇONNERIE

KHELFI Mebarek

PLAN DE PRÉSENTATION

Introduction

- Problématique
- Objectifs

Méthodes de calcul

- Micro et Macro modèles
- Modèle de la bielle équivalente

Mode de construction

- Avantages et inconvénients
- Mécanismes de rupture

Modèle Numérique Proposé

• Validations du modèle

Amélioration du comportement sismique

INRODUCTION

Le séisme représente une menace sur l'homme et son environnement direct.



Face à cette relative impuissance, il faut se concentrer sur la réduction de la vulnérabilité, c'est-à-dire la limitation des dommages sur les constructions En Algérie, Les cadres en Béton Armé avec Remplissages en Maçonnerie de brique (ou BAMR tout court) représente le mode de construction le plus employé.



Photo: Carcasse d'une maison. Reghaia (Alger).

Ce Mode de construction est intensivement utilisé pour des fins d'habitation, commerciales ou industrielles.

Les éléments en béton sont conçus pour supporter les charges (Éléments principaux).

La maçonnerie en briques est utilisée comme élément de remplissage seulement (Éléments secondaires).

EN CAS DE SEISME La situation est différente

Mathematical micromodeling

of infilled frames:

P.G. Asteris,

D.M. Cotsovos

C.Z. Chrysostomou

A. Mohebkhah

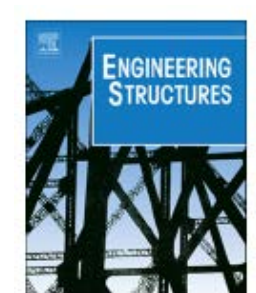
G.K. Al-Chaar

S. T. Antoniou

D. S. Sophianopoulos

Recent advances in research (Zarnić et al. 2001; Moghaddam State of the art (2013) 2004; Hashemi and Mosalam 2006; Rodrigues et al. 2008; Dolšek and Fajfar 2008; Kose 2009) have shown that a strong interaction exists between an infill masonry wall and the surrounding frame, leading to the following:

P.G. Asteris and al (2013)



PROBLÉMATIQUE

(see Fig. 1). As a result, the necessity of incorporating infill walls into FE models used for the structural analysis of RC frame structures, while at the same time employing constitutive models capable of providing a realistic description of the nonlinear behavior of concrete, masonry and their interaction, becomes evident.

Malgré il est devenu évident la nécessité d'incorporer les panneaux de remplissage dans le calcul des BAMR

P.G. Asteris and al (2013) Il existe encore une négligence de leur contribution pour deux raisons:

- matériaux fragiles.
- par les essais expérimentaux. Les modèles mathématiques existants ne peuvent pas décrire **FACILEMENT** le comportement réel des BAMR.

Ce n'est pas étonnant de ne pas avoir encore un consensus sur une approche unifiée permettant l'analyse des structures en BAMR.

The widespread neglect of the contributions of infill walls during structural analysis can be attributed, in part, to difficulties associated with the modeling of the behavior of quasi-brittle materials such as unreinforced masonry (URM) or concrete. Another 1- Difficulté de la modélisation de reason for the neglect is the scatter that pervades the available published experimental data describing the behavior of such brit-2- Dispersion des résultats fournis tle materials, as well as the effect of infill walls on the overall structural response of the frames. This scatter stems from a large number of uncertainties, discussed in detail in section 2, which are involved in the various investigations carried out to date. In view of the above, the existing mathematical (numerical or analytical) models - the formulation and validation of which is based on the available experimental data - cannot be readily relied upon to obtain a realistic description of the structural response of infilled RC frames. So, it is not surprising that no consensus has yet emerged which would lead to a unified approach for the analysis and design of infilled frame structures.

P.G. Asteris and al (2013)



1

 Contribution : Proposition d'un modèle numérique

2

 Conception pour l'amélioration du comportement sismique

Maçonnerie

Mode de construction le plus ancien



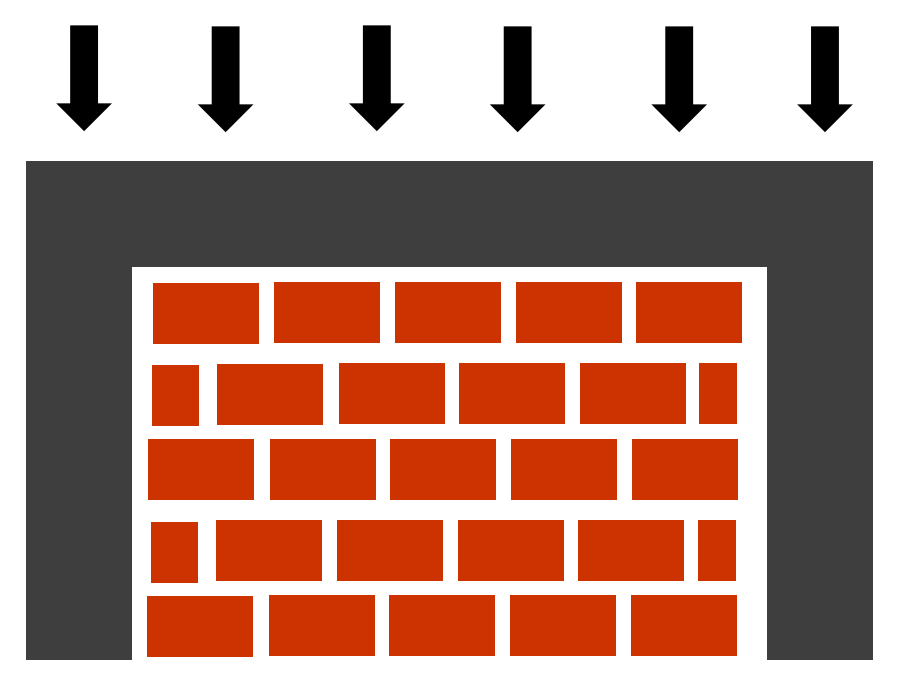


La technique d'empilement des briques est restée essentiellement la même au fil du temps.

Les briques prennent alors des formes beaucoup plus standards et régulières.



Avec le progrès du béton, les éléments en BA deviennent principaux pour SUPPORTER les charges verticales et la MAÇONNERIE est utilisée comme élément de REMPLISSAGE seulement.

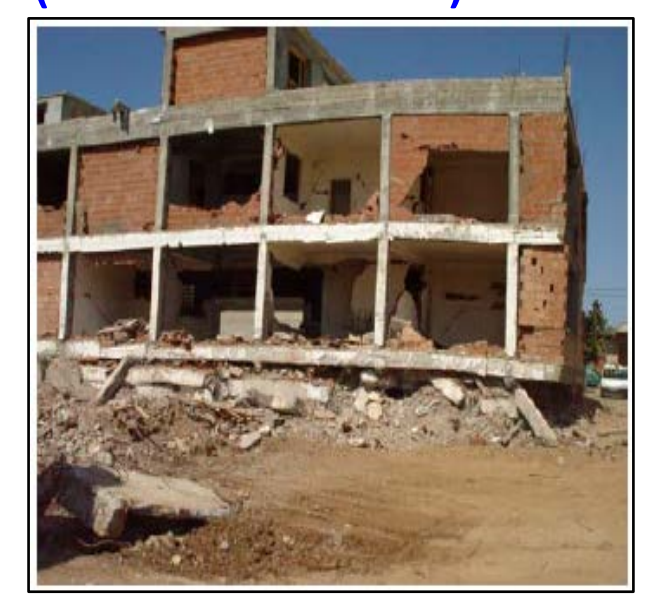


Cette ASSOCIATION du béton armé avec la maçonnerie fait apparaitre le système de structure dit ossatures en béton armé avec remplissage en maçonnerie ou « BAMR » tout court.

EXPERIENCE DU SEISME DE 2003 (BOUMERDES)

Les BAMR représentent entre 80% à 90% des constructions dans la zone sinistrée.

(Rapport préliminaire du séisme de Boumerdès 2003, Davidovichi. V)







EFFETS DES REMPLISSAGES SUR LE COMPORTEMENT DES CADRES EN BETON ARME

AVANTAGES:

- 1- Augmentation de capacité latérale du cadre en BAMR
- 2- Augmentation de la rigidité latérale du cadre en BAMR
- 3- Augmentation de la capacité de dissipation de l'énergie sismique

INCONVENIENTS:

1- Rigidi<u>t</u>é élevée

Efforts sismiques élevés



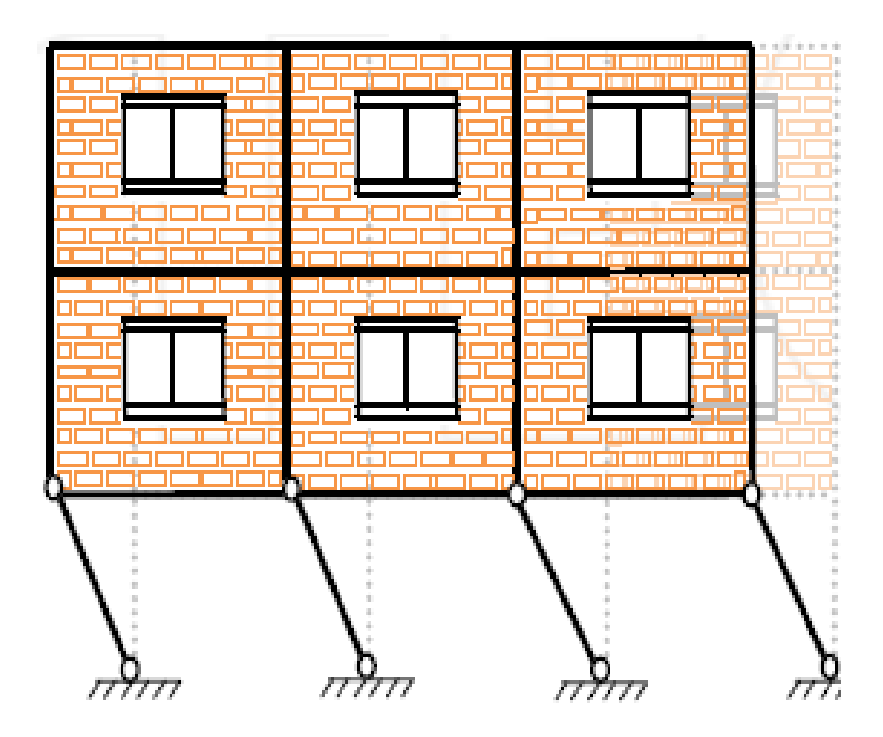
(Chlef, 1980).

2- Détachement hors plan des remplissages.



(Californie, 1989).

3- Phénomène de l'étage souple





(Boumerdès, 2003).

4- Effet du poteau court





(Californie, 1994)

(Italie, 2002)

5- Effet de la torsion.



(Kobe, 1995)

MECANISMES DE RUPTURE DES BAMR





Mécanismes de rupture associés au REMPLISSAGE

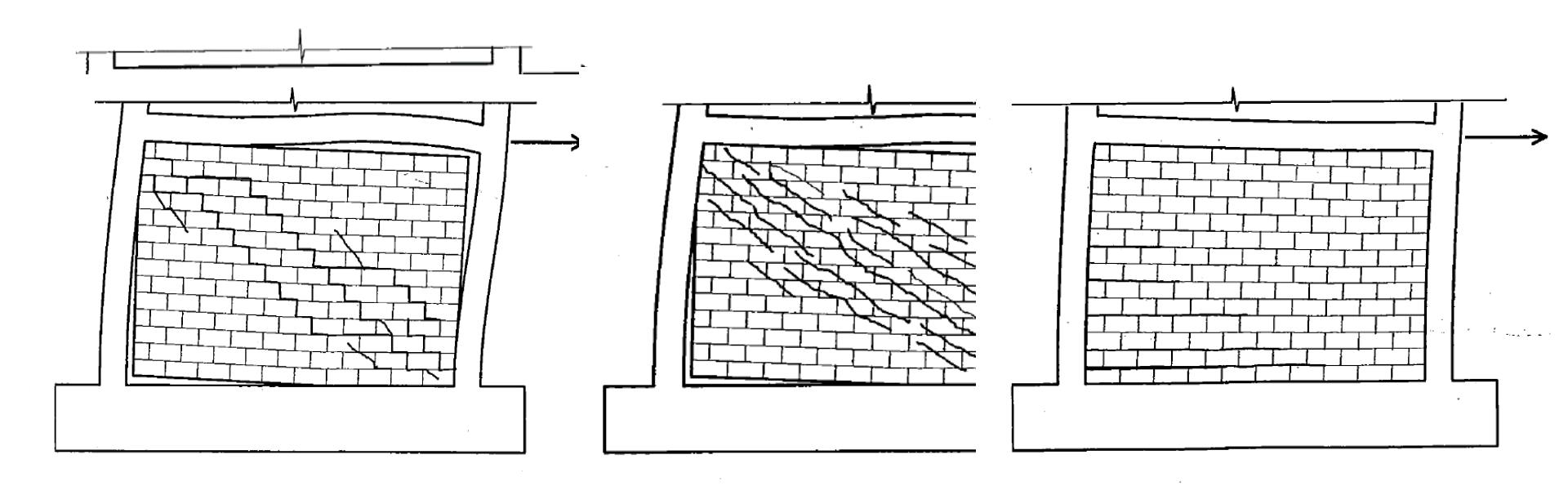
Mécanismes de rupture associés au CADRE en BA

Mécanismes de rupture associés au REMPLISSAGE

Rupture du panneau en Cisaillement

Rupture du panneau Rupture du panneau en compression

en flexion



Rupture

Rupture

paraciisail leimente de la biglie de la bigl diagonale

Mécanismes de rupture associés au CADRE en BA

Flexion Cisaillement **Traction** Rupture des poteaux des poteaux des poteaux des nœuds **Plastification Pétatifientient** desuextriéirenités dedabiæse

CALCUL DES STRUCTURES EN BAMR

MÉTHODES DE CALCUL DES OSSATURES EN BAMR





Méthodes EMPIRIQUES
Wood (1958)

Méthodes THÉORIQUES

MÉTHODES THÉORIQUES





Méthodes basées sur la théorie de l'élasticité (Fonction d'Airy)

Méthodes basées sur la méthode des éléments finis





MICRO-MODELES MAG

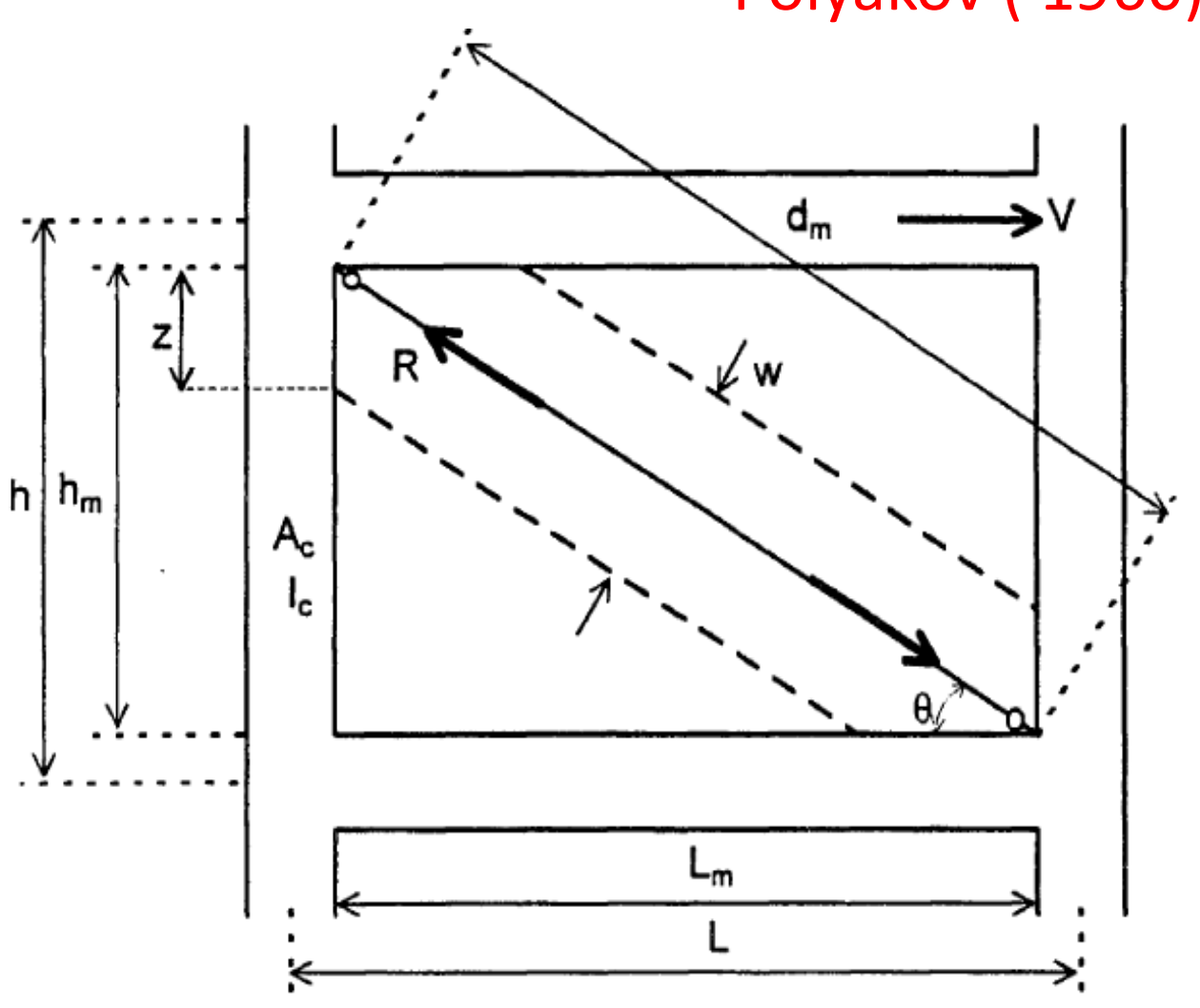
MACRO-MODELES

MACRO-MODELES

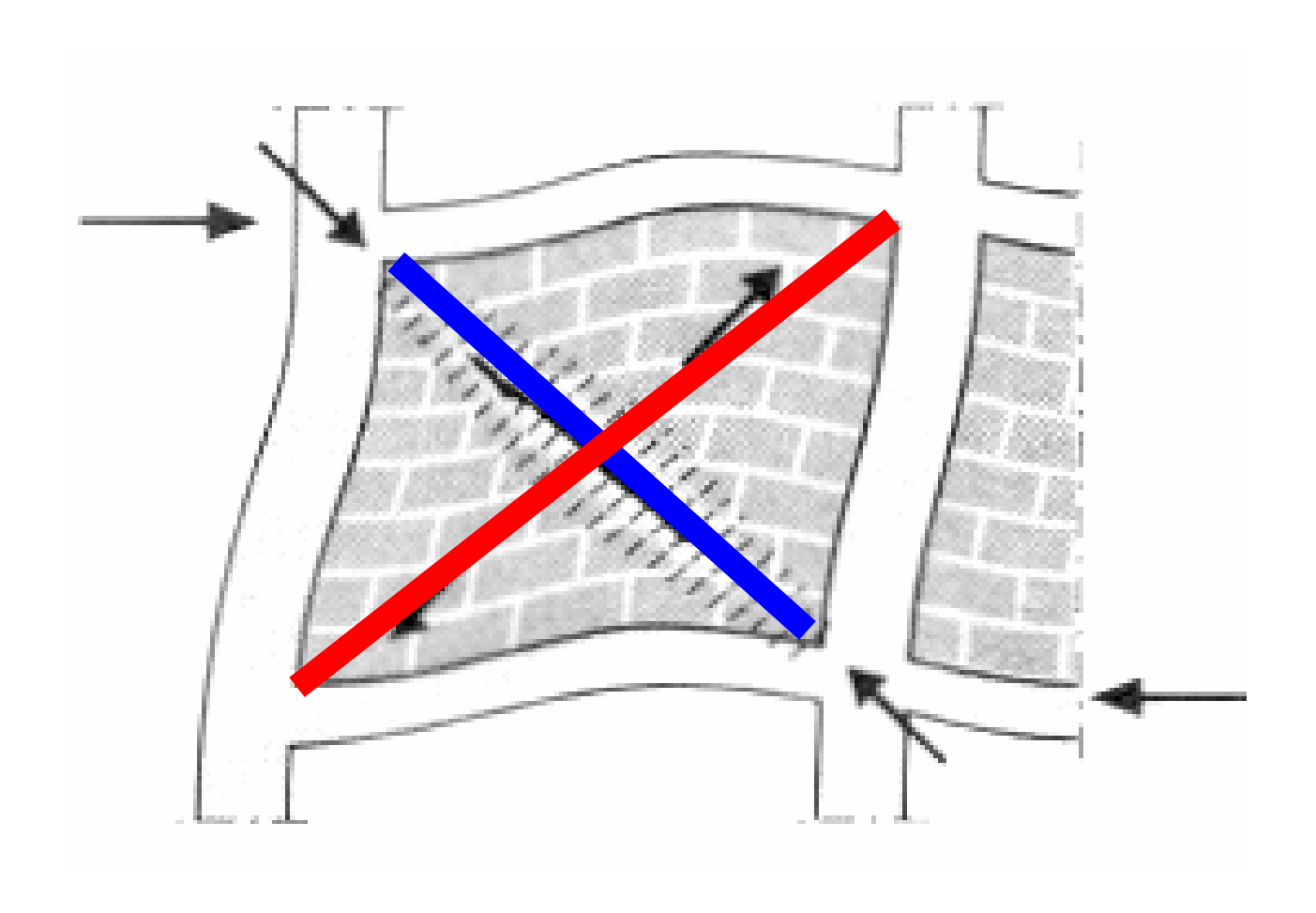


BIELLE EQUIVALENTE

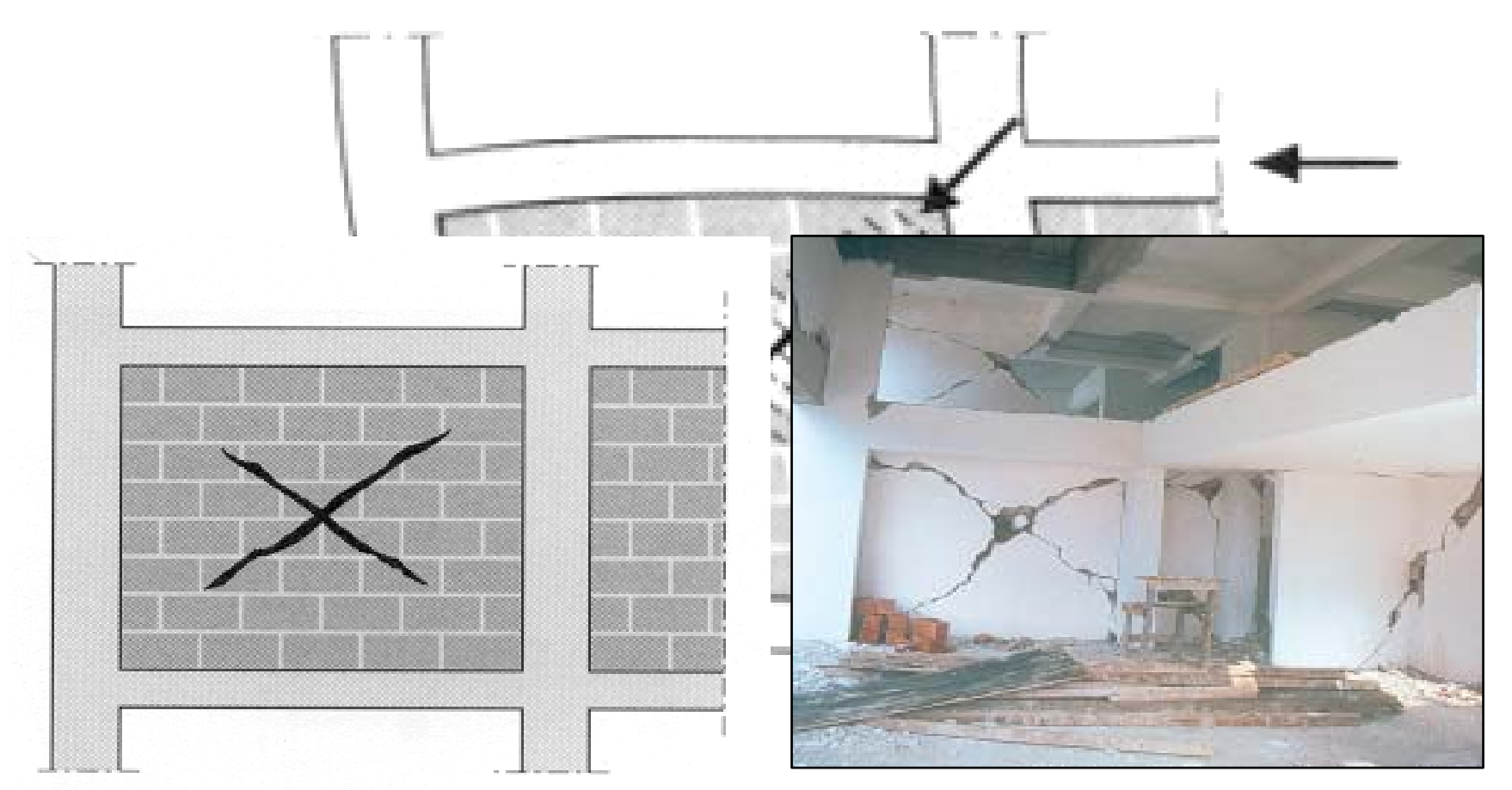
Polyakov (1960)



SOUS SOLLICITATIONS HORIZONTALES



RÉSULTAT Fissure classique en X.

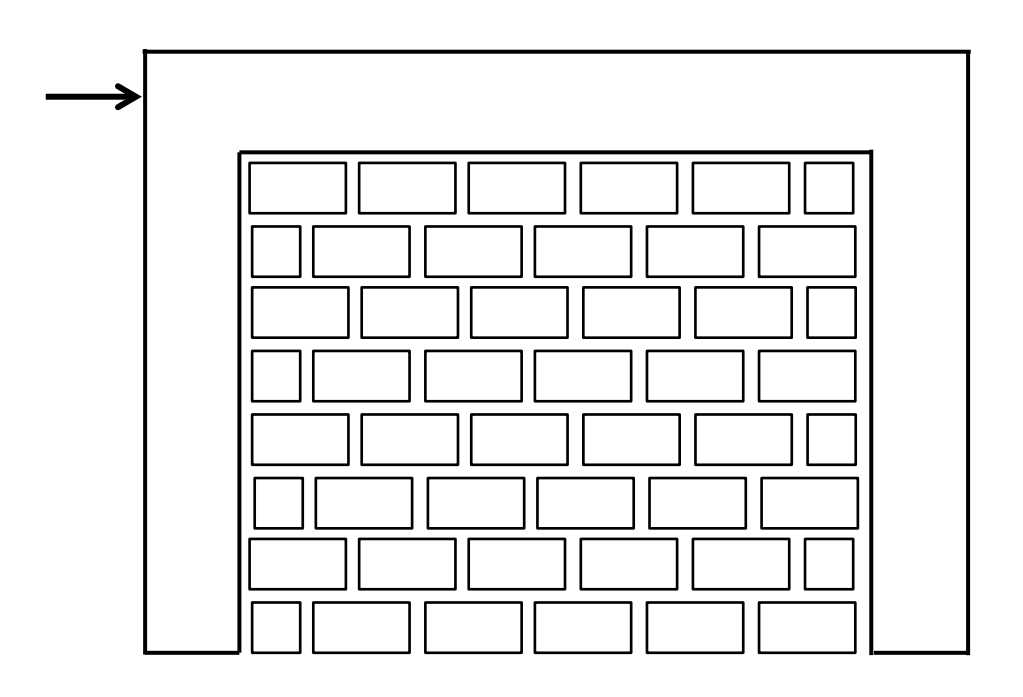


Séisme de Turquie, 1999

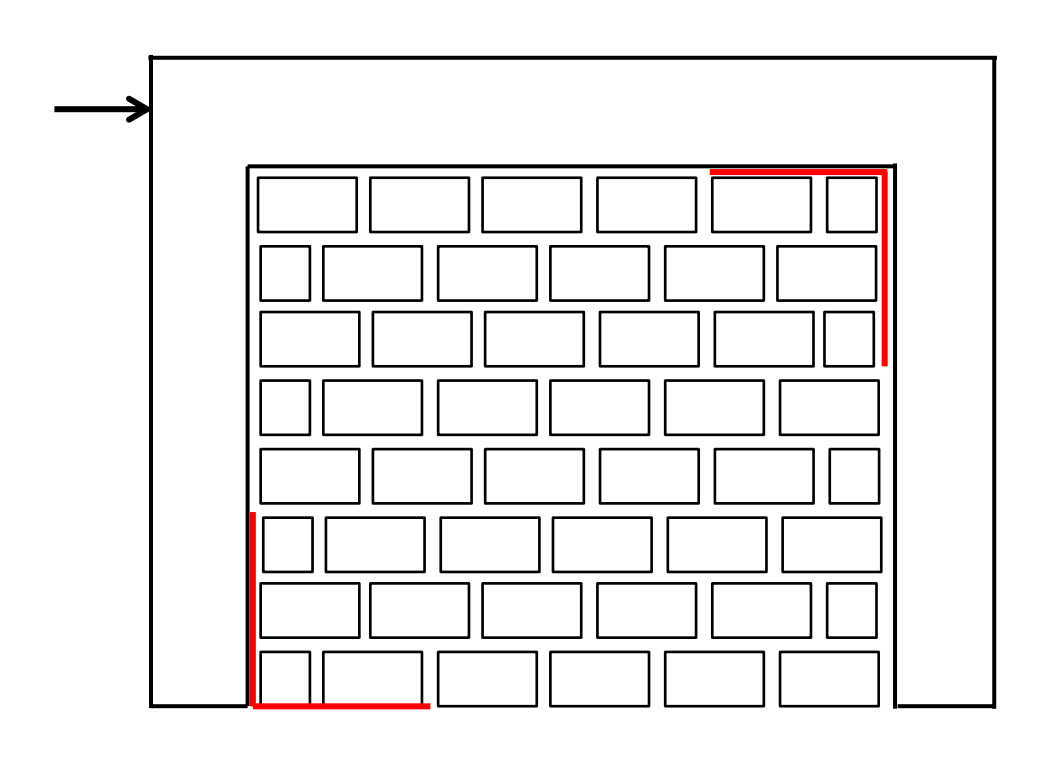
PHASES DU COMPORTEMENT DU REMPLISSAGE

PHASE 1: COMPORTEMNT MONOLITHIQUE

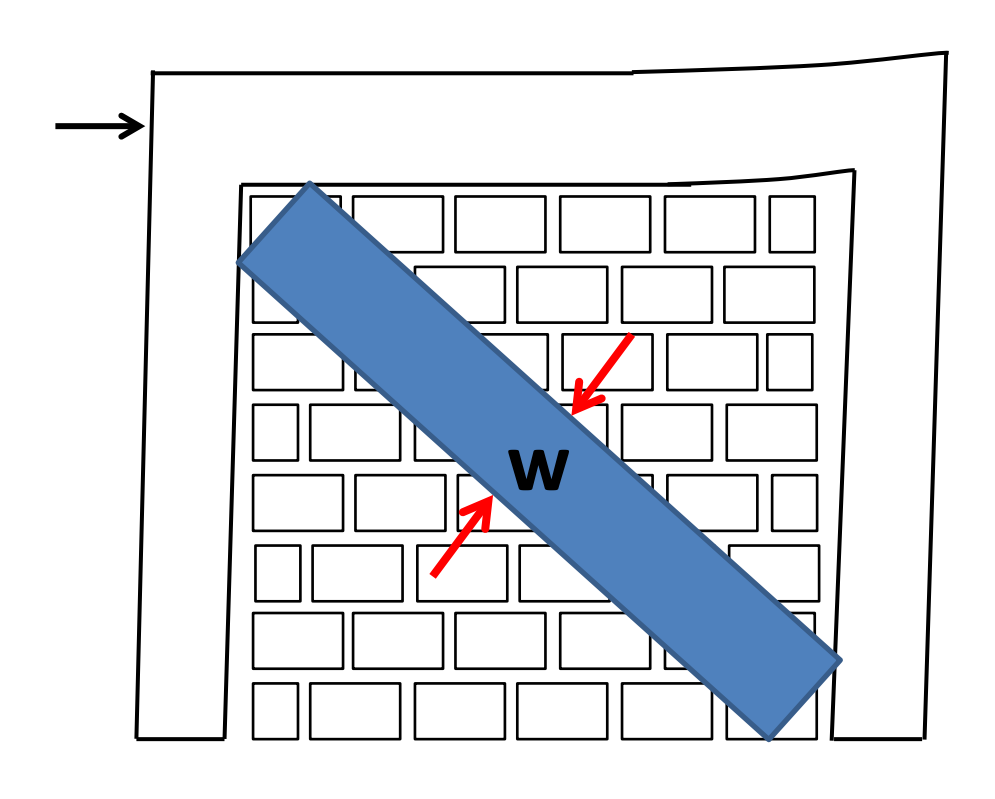
(Sous des efforts relativement faibles)



PHASE 2: FISSURATION ET DETACHEMENT



PHASE 3: FORMATION DE LA BIELLE DIAGONALE



| Holmes (1961) | $w = \frac{1}{3} d_m (d_m : \text{est la longueur de la diagonale})$ |
|---------------------------|---|
| Smith and al (1962) | $w = 0.58 \left(\frac{1}{h}\right)^{-0.445} \left(\lambda_h h_m\right)^{0.335} d_m \left(\frac{1}{h}\right)^{0.064}$ |
| Mainstone (1971,1974) | $w = 0.175 (\lambda_h h_m)^{-0.4} d_m$ |
| Decanini et Fantin (1987) | Cas 1 : maçonnerie non-fissurée $w = \left(\frac{0.748}{\lambda_h} + 0.085\right) d_m \text{Si } \lambda_h \leq 7.85$ $w = \left(\frac{0.393}{\lambda_h} + 0.130\right) d_m \text{Si } \lambda_h > 7.85$ Cas 2 : maçonnerie fissurée $w = \left(\frac{0.707}{\lambda_h} + 0.010\right) d_m \text{Si } \lambda_h \leq 7.85$ $w = \left(\frac{0.470}{\lambda_h} + 0.040\right) d_m \text{Si } \lambda_h > 7.85$ |
| Chrysostomou (1991) | Trois bielles parallèles |
| El-Dakhakhni (2000) | Trois bielles non parallèles |

Commentaires

Le choix du modèle numérique dépond des résultats demandés.

Les modèles Macro peuvent fournir des résultats Acceptables de la résistance et de la rigidité du BAMR.

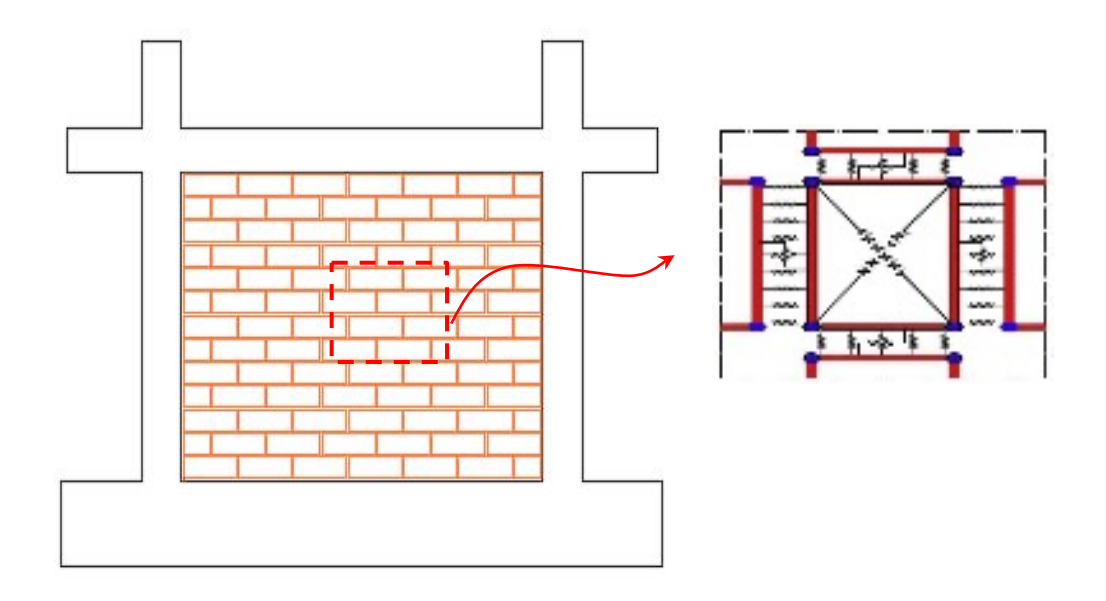
Rapidité de résolution des ces modèles favorisent leur utilisation pour les ingénieurs.

TOUTEFOIS ils ne prévoient pas tous les mécanismes de rupture du remplissage.

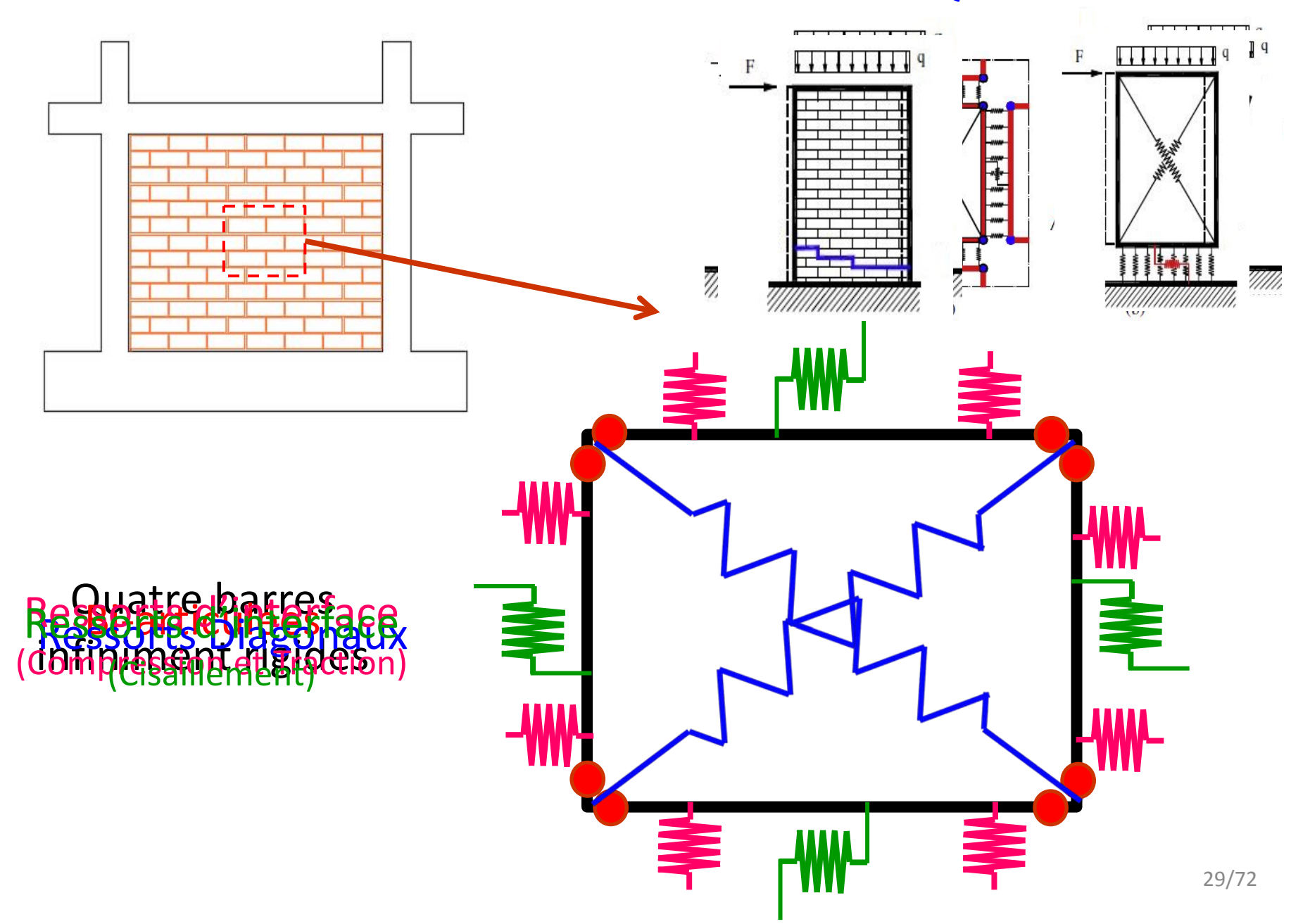
MODÈLE QUI PEUT ALLIER LES AVANTAGES DU MACRO AVEC LA FINESSE DU MICRO

PROPOSITION D'UN MODELE NUMERIQUE DU REMPLISSAGE (OBJECTIF 1)

INSPIRÉ du modèle de Caliò et Pantò (2014).



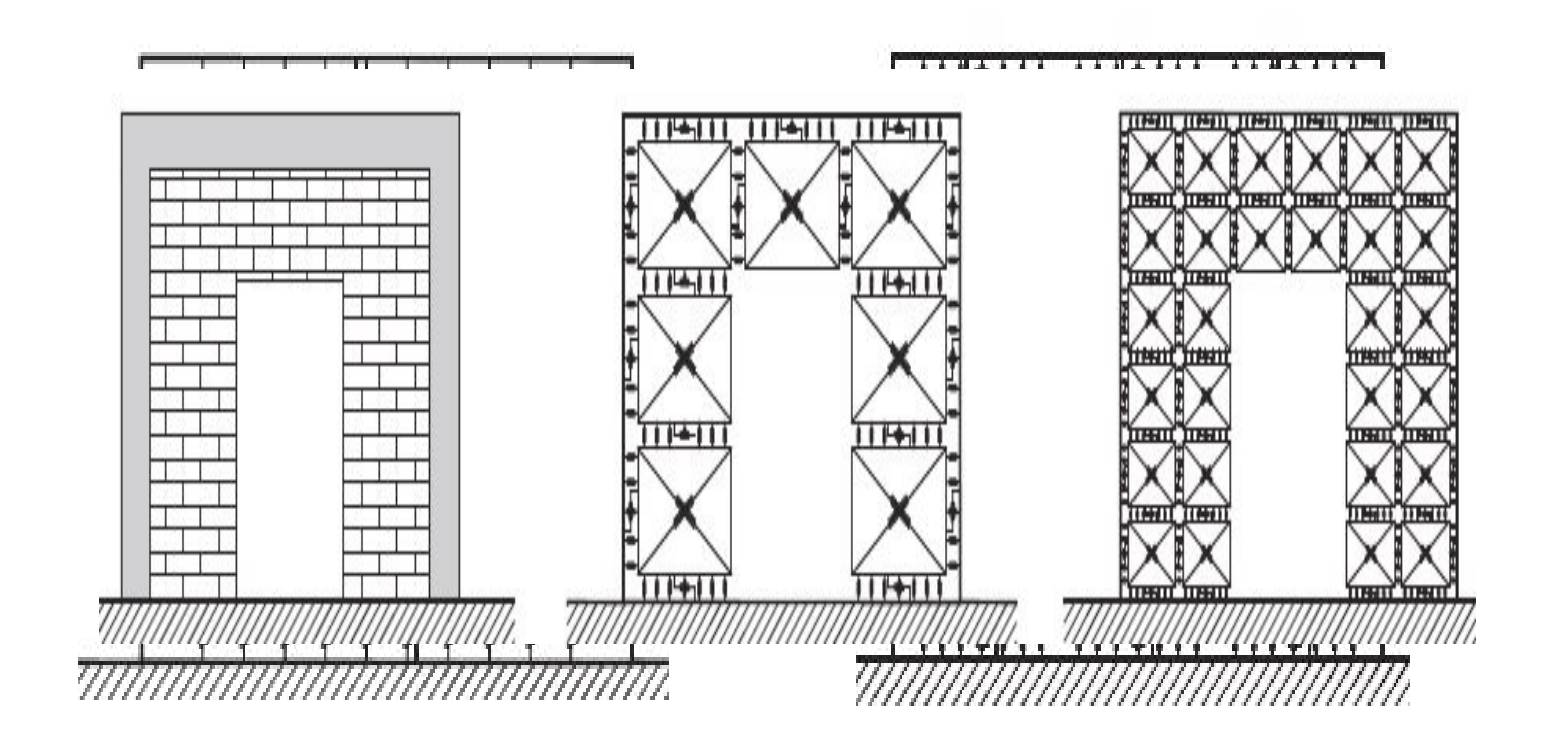
DETAILS DU MODELE NUMERIQUE



AUTRES AVANTAGES

ÉPOUSE la forme réelle du panneau.

POSSIBILITÉ de modéliser les ouvertures.

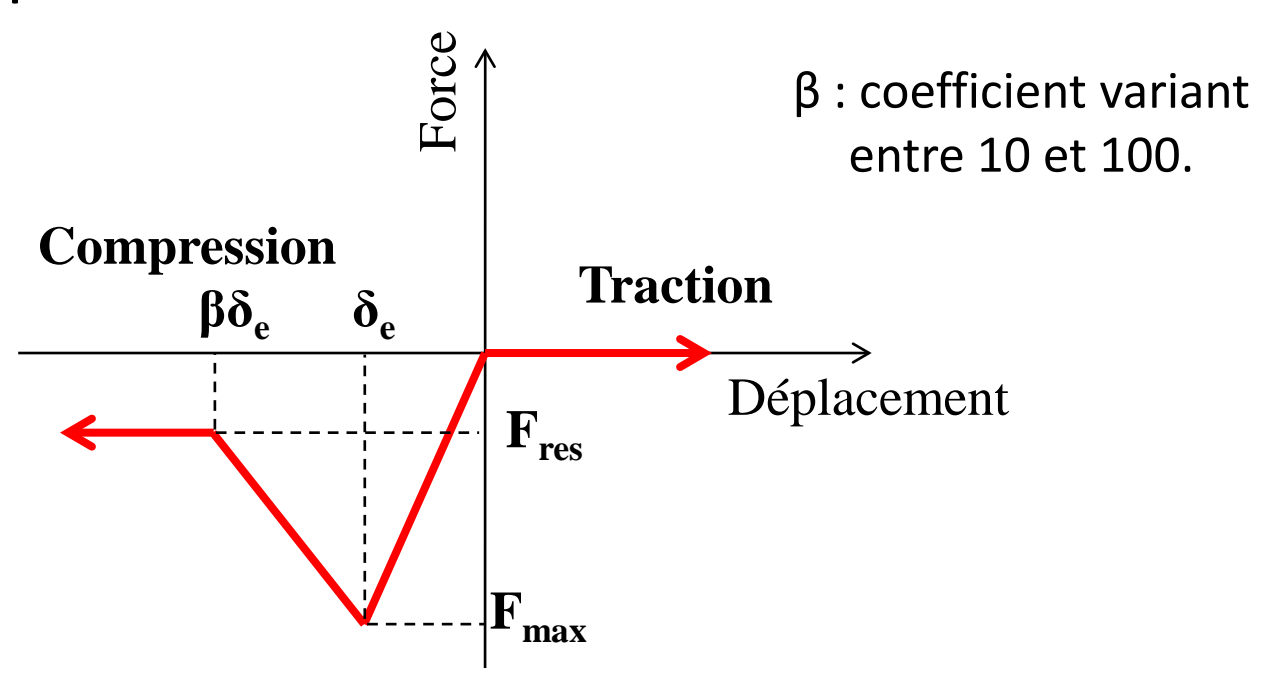


LOIS DE COMPORTEMENT

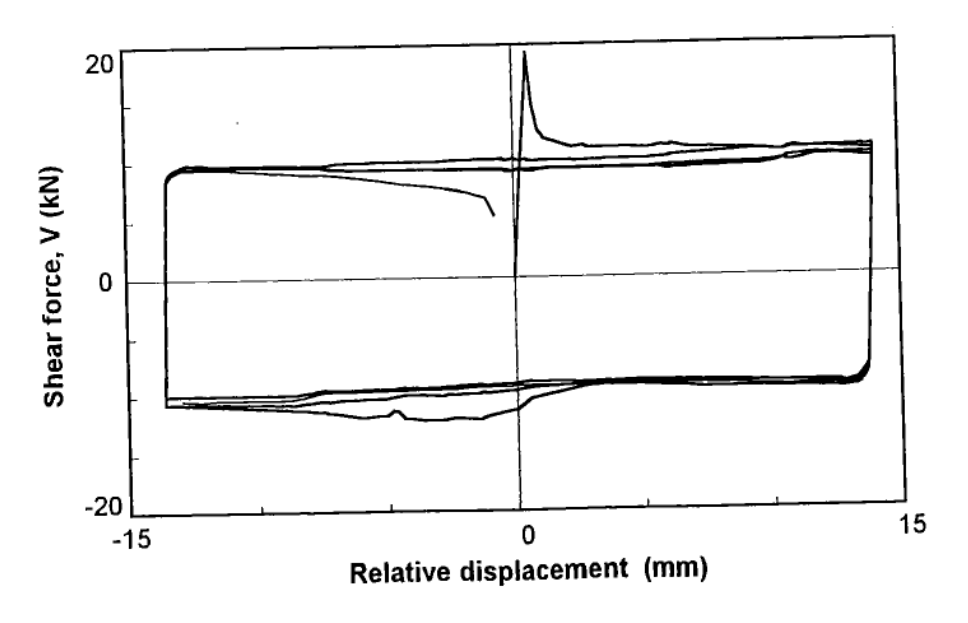
Pour les éléments d'interface une loi de comportement ELASTO-PLASTIQUE PARFAITE est adoptée.

1^{ère} CONTRIBUTION

Adopter aux LINKS DE CISAILLEMENT une loi de comportement ELASTO-PLASTIQUE FRAGILE.



Travaux expérimentaux (Atkinson and al 1989, Crisafulli 1997) RÉDUCTION de l'effort interne du cisaillement .



La résistance au cisaillement est définie par la loi de Mohr-Coulomb

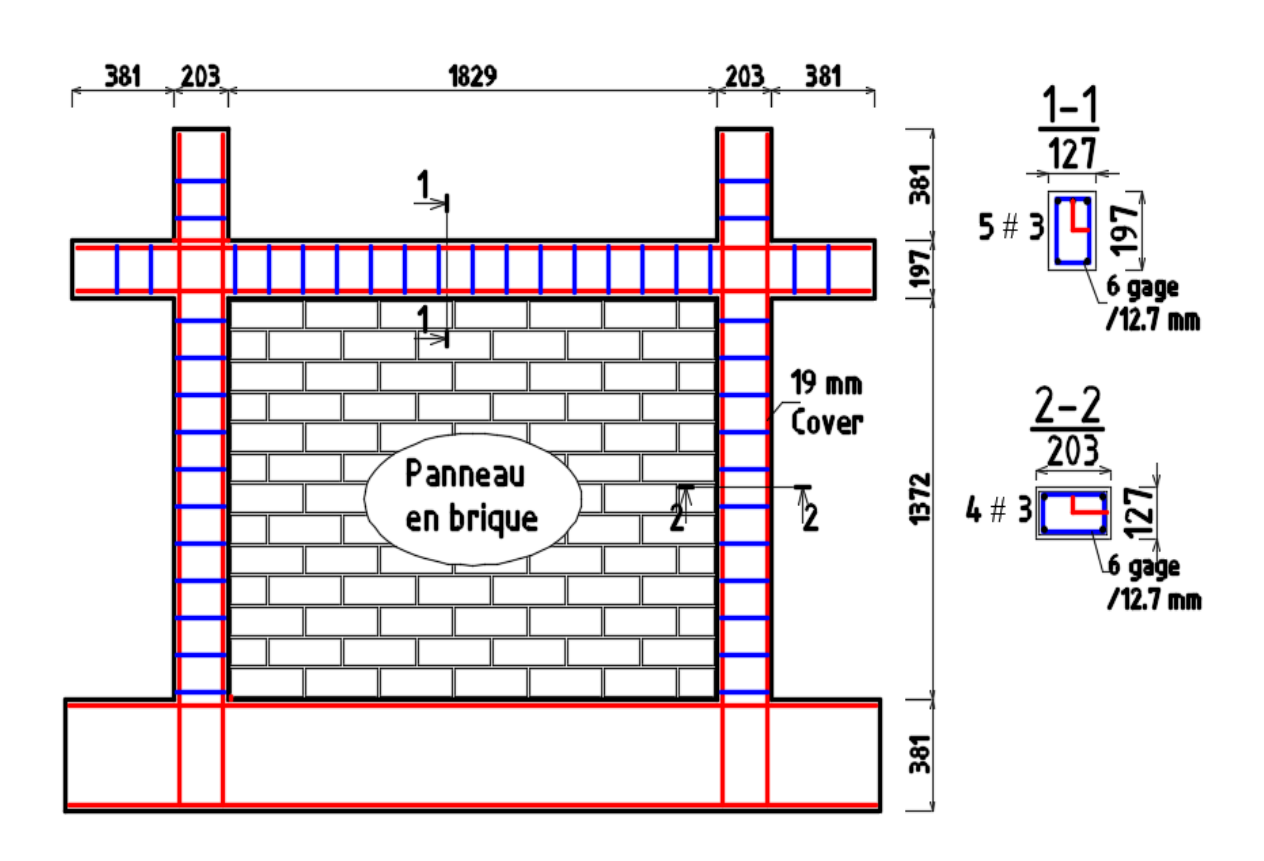
$$F_v = f_{v0} + \mu_c \, \sigma_n$$

Critère adopté par (EC 06)

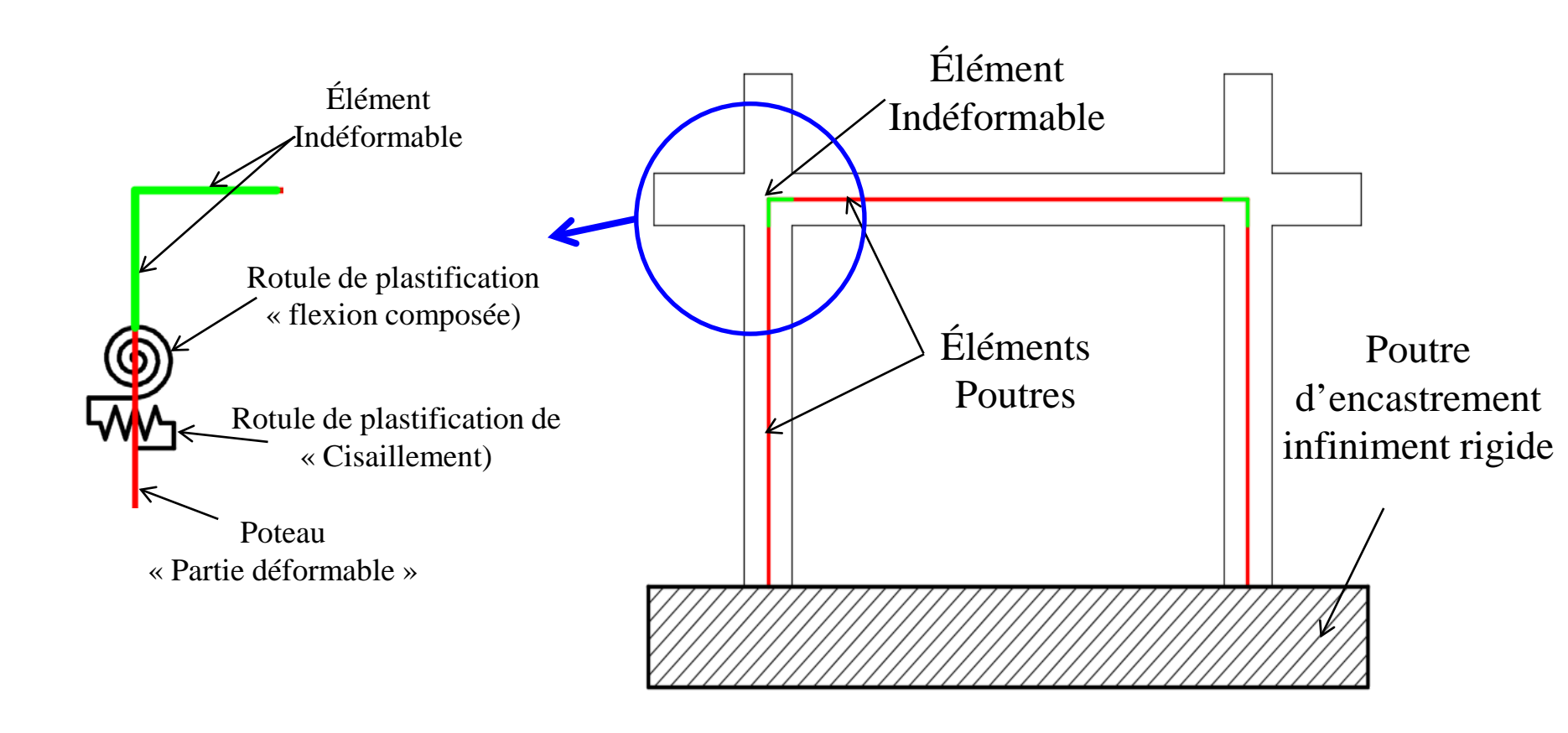
VALIDATION DU MODELE NUMERIQUE

Application 1

Travaux Al-Chaar.G (1998).

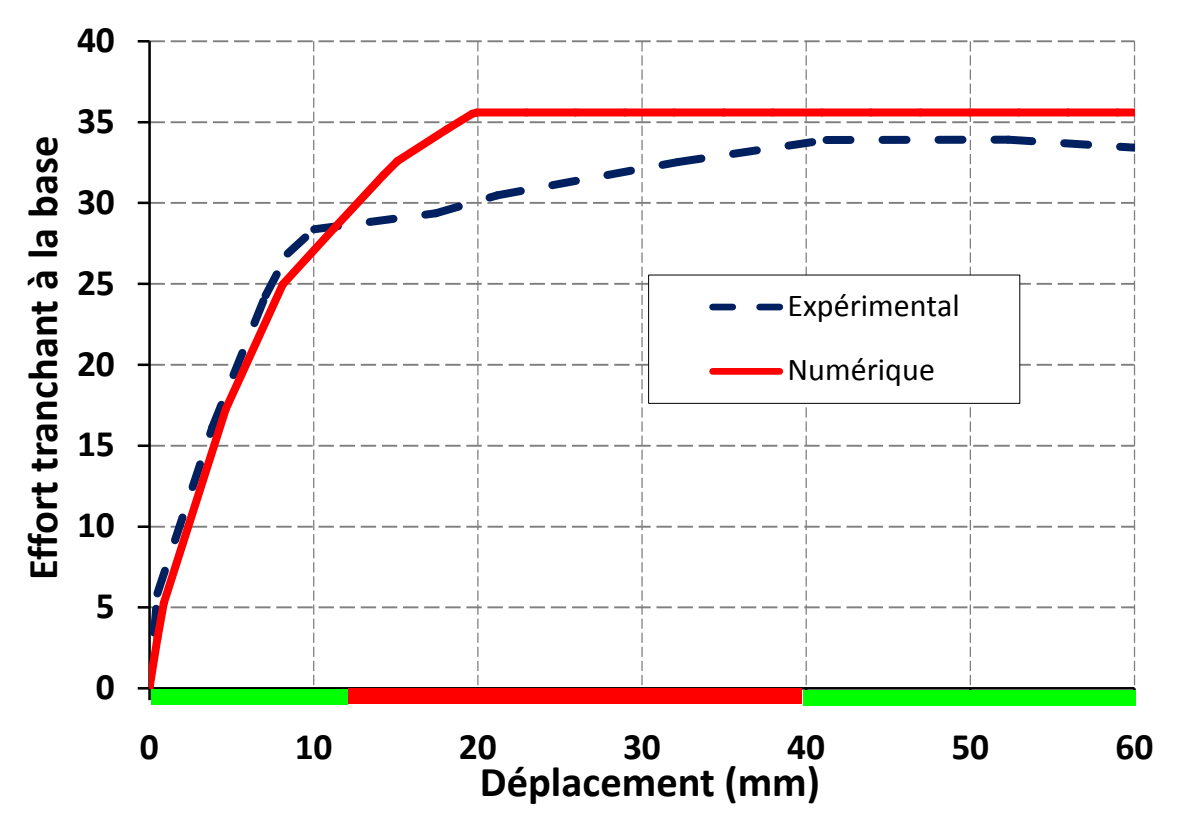


Cadre en BA (Cadre vide)



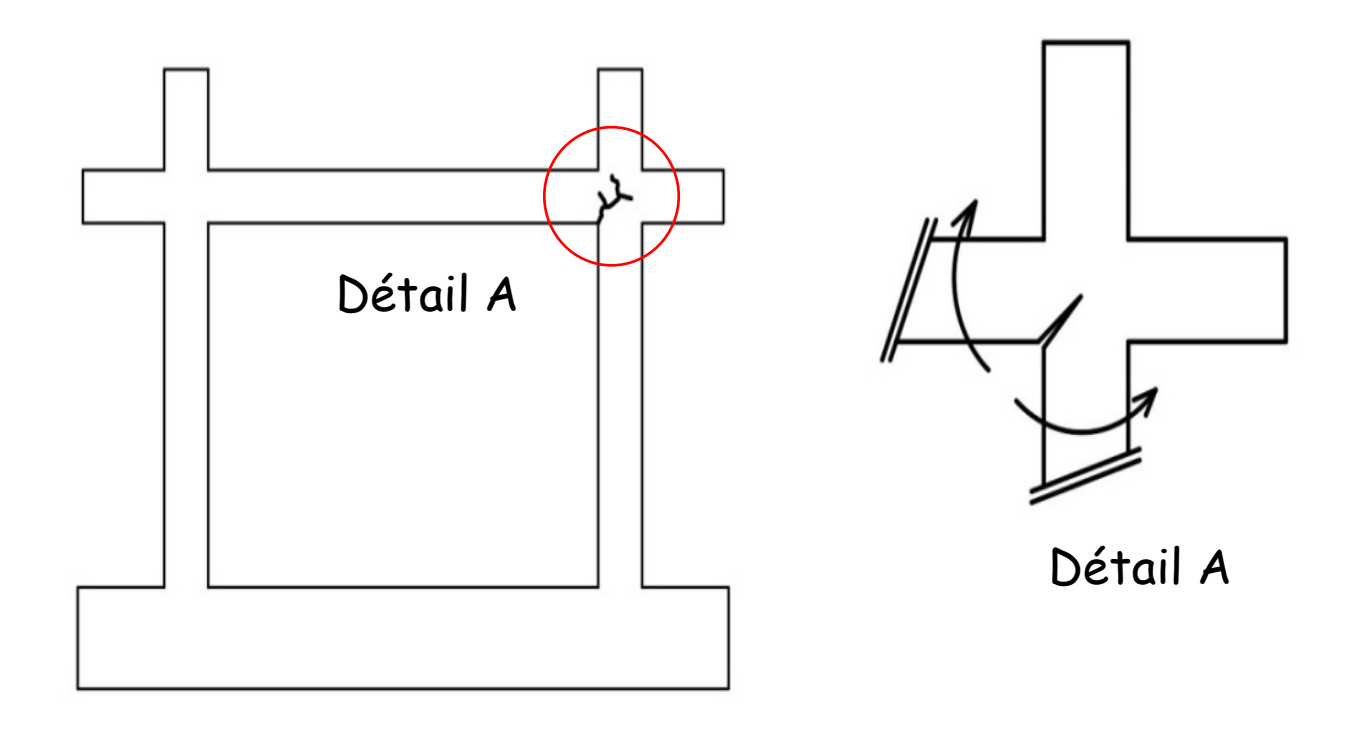
Résultats du cadre vide en BA

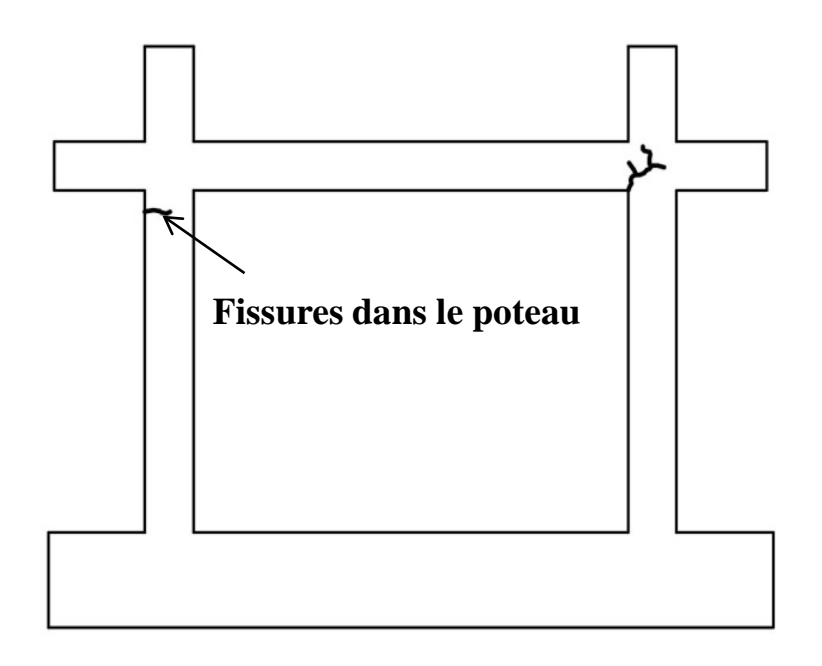
Le spécimen de référence est soumis à un test quasistatique.



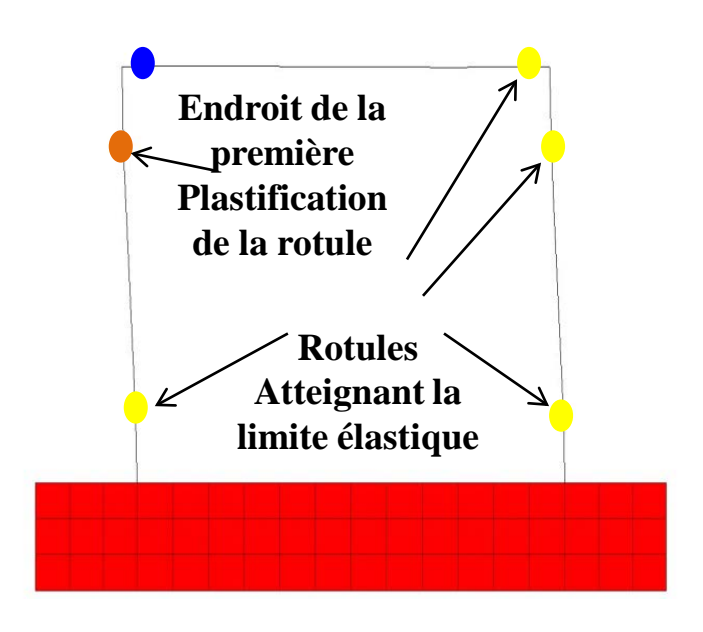
Entre [10 mm – 4012 mm læretir [40 ientrents 5 setil 8 erreur maximale estimée est environ (±5%)

Fissure prématurée au niveau du nœud Poteau-poutre (δ =12.30 mm)



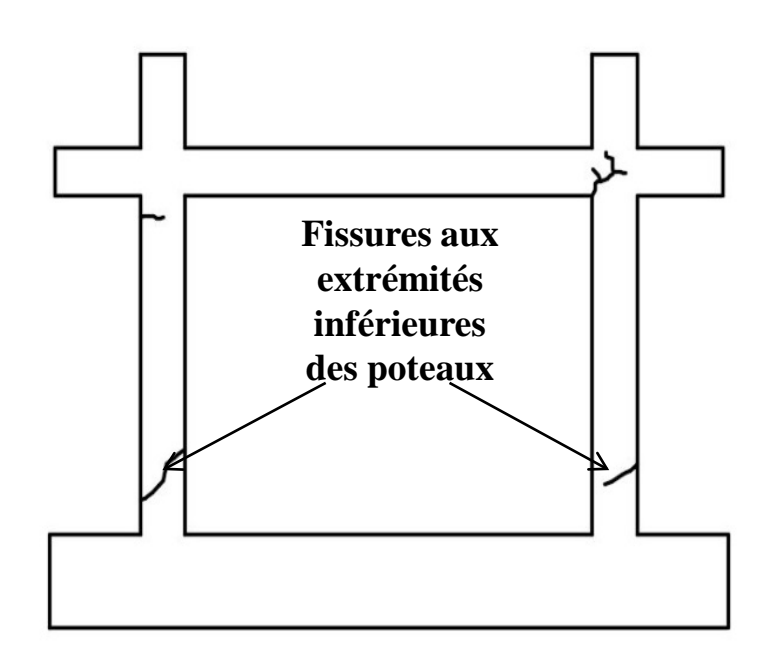


Expérimental (18,30 mm)

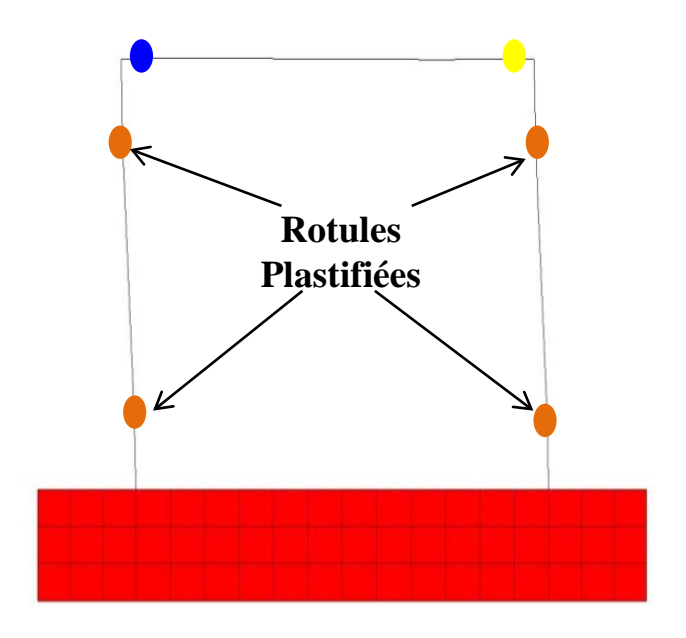


Numérique (18,01 mm)

État final de rupture



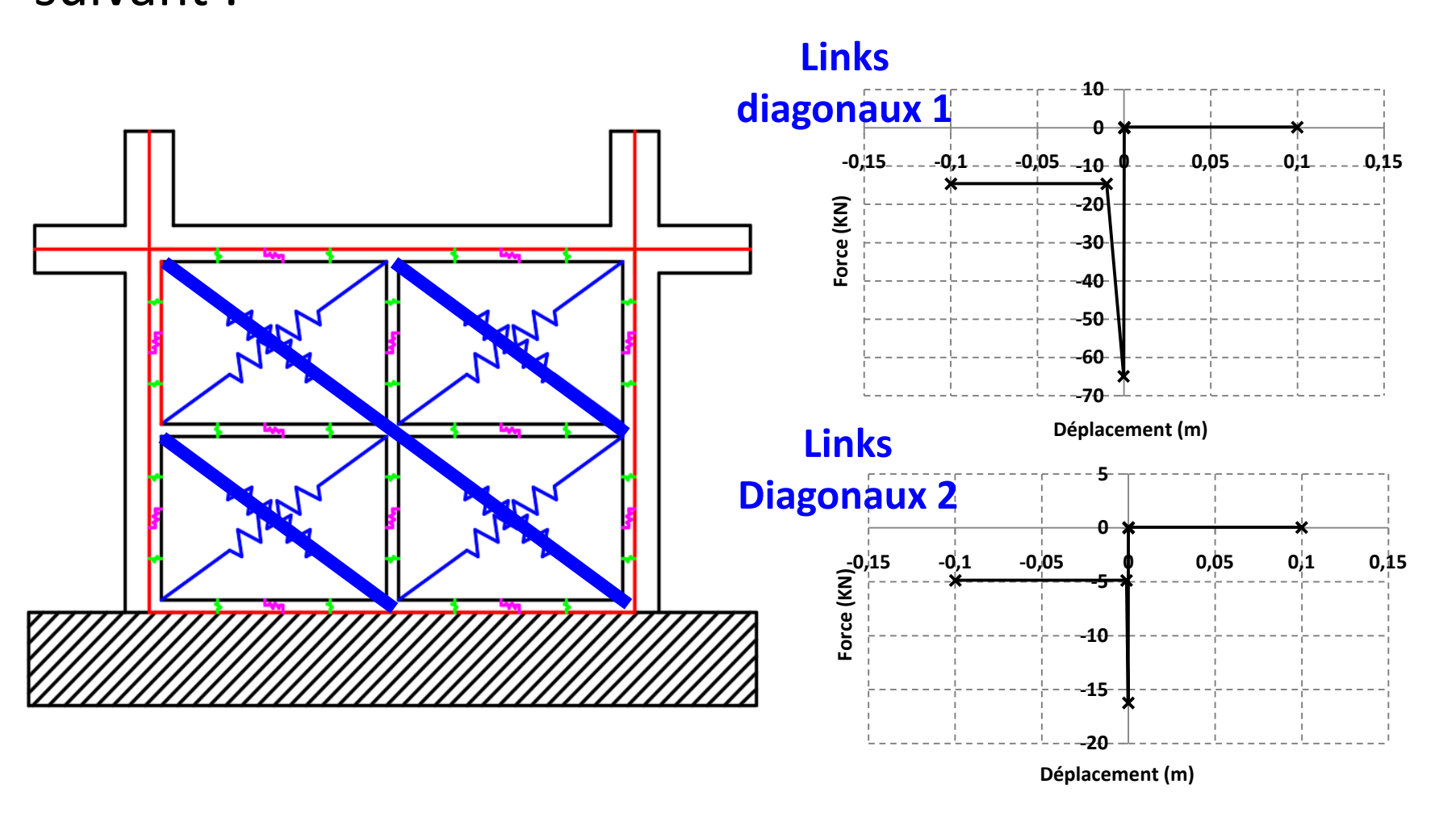
Expérimental (20,80 mm)



Numérique (19,96 mm)

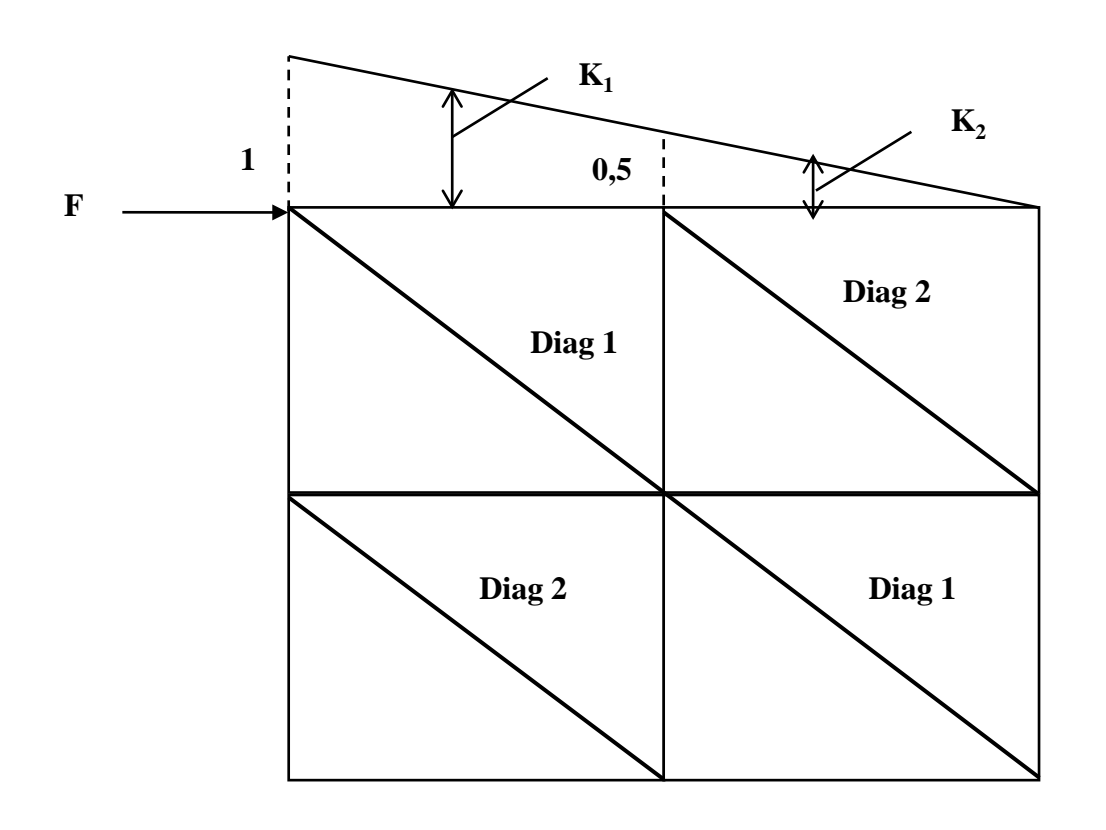
Cadre en BAMR (Cadre remplis)

Avec maillage de (2x2), en obtient le modèle numérique suivant :



2ème CONTRIBUTION

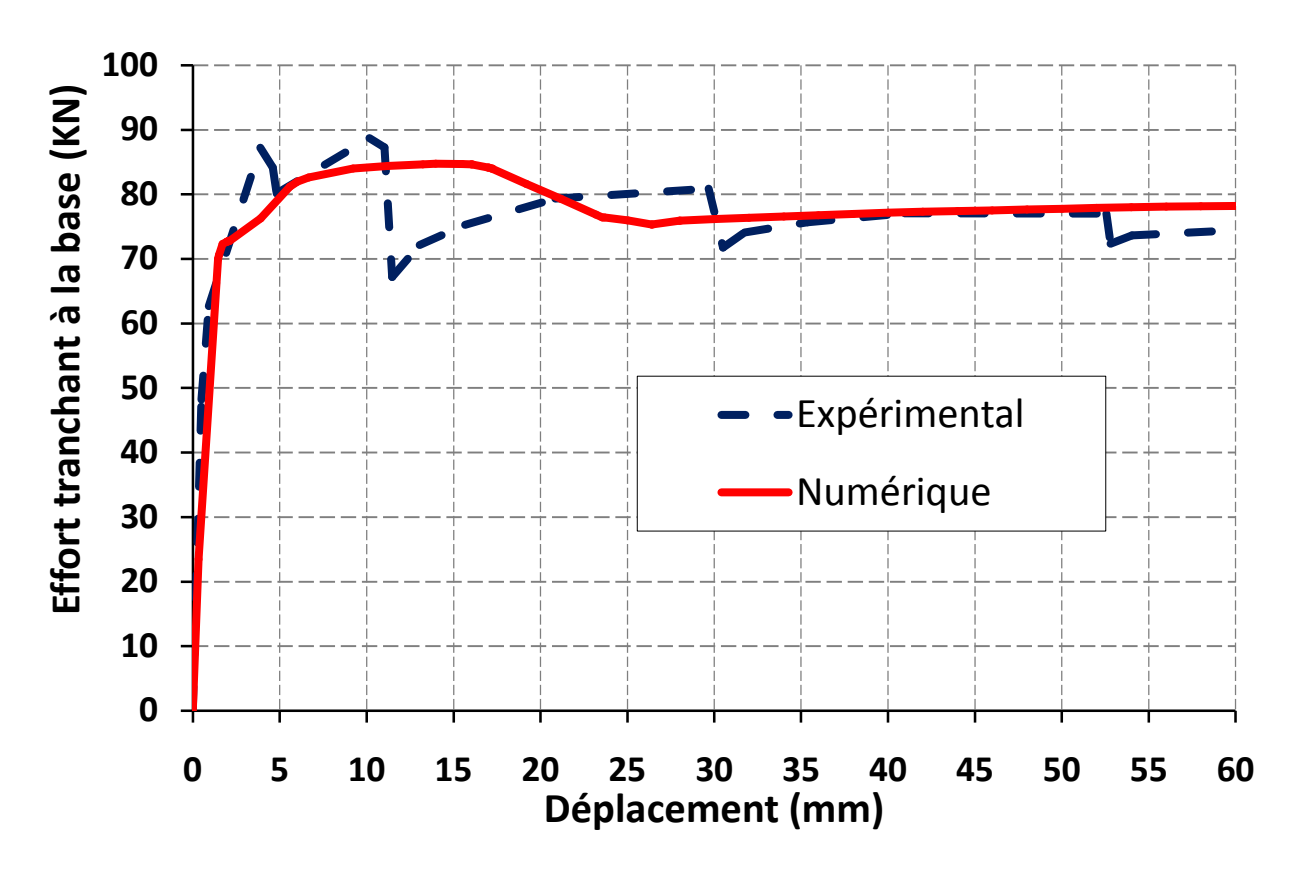
Coefficients réducteurs K_i à chaque bande diagonale du maillage utilisé.



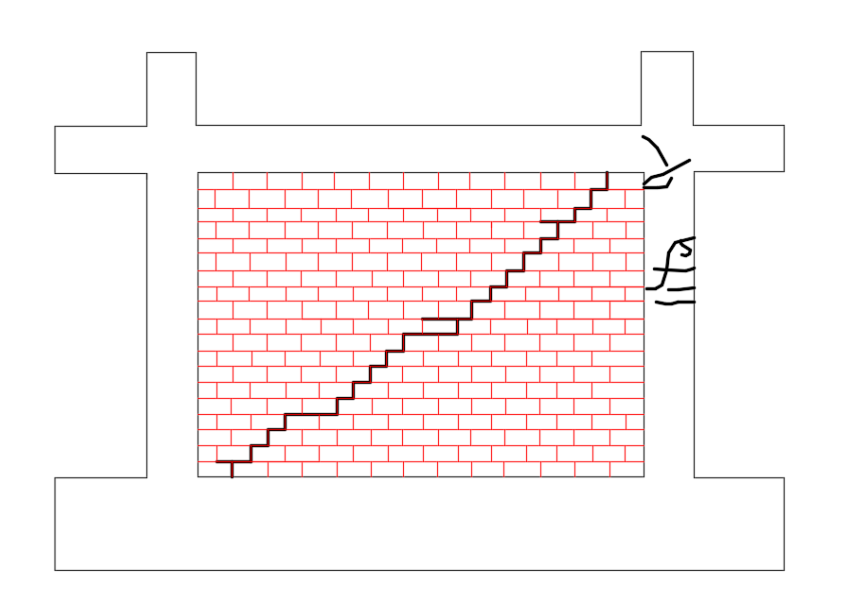
$$K_1 = 0,75$$

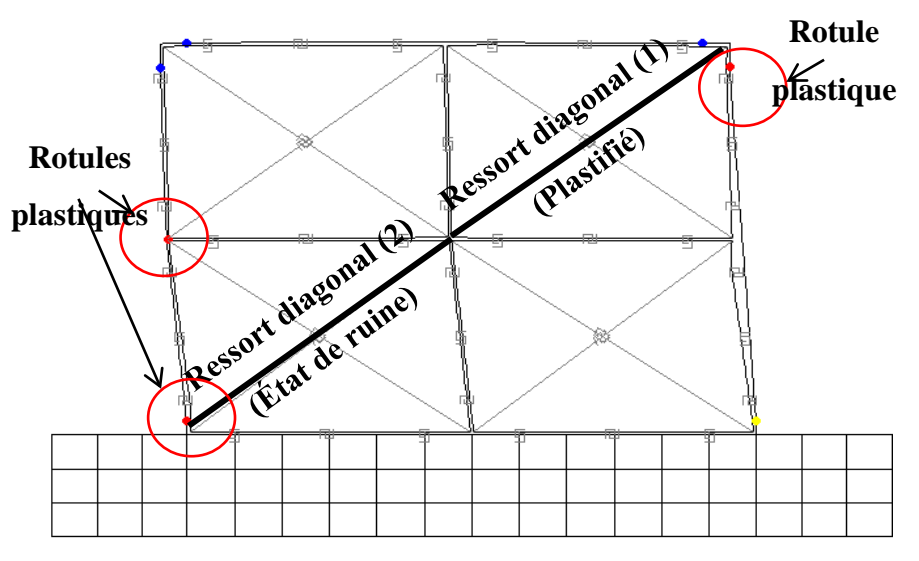
 $K_2 = 0,25$

Résultats du cadre BAMR (Remplis)



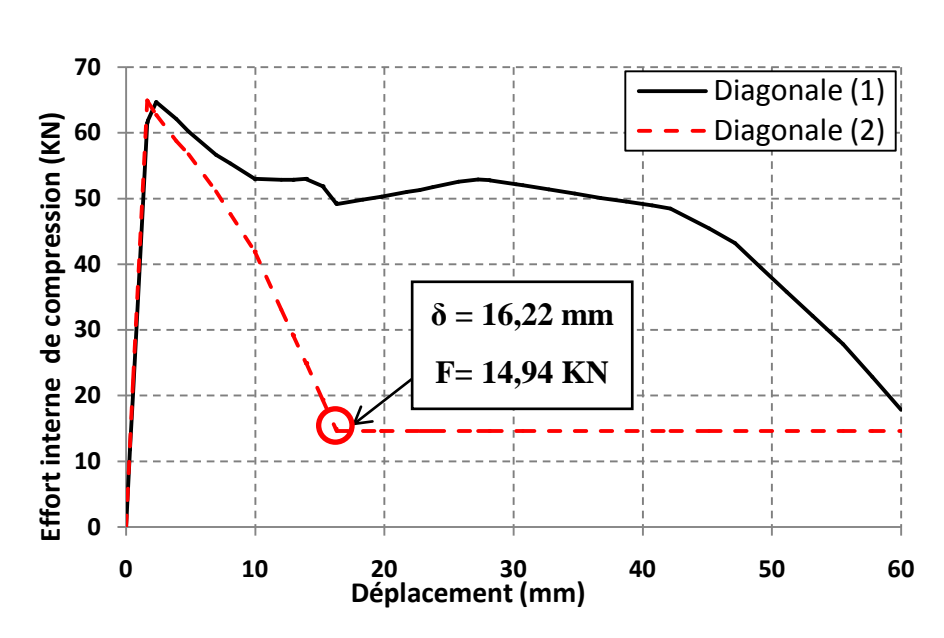
Les résitfétets cesumériques robbte rolles fort liquent chants bonne base effectue ratveates (réssultets expérimentaux.

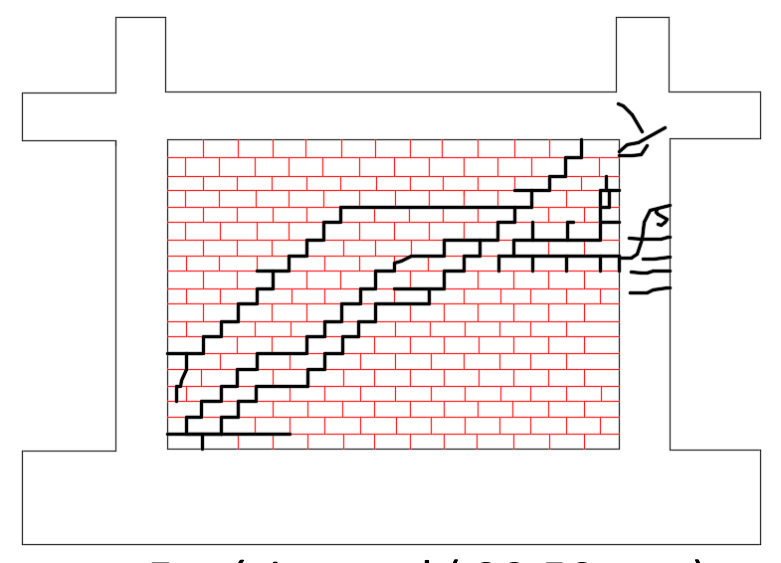




Expérimental (15,20 mm)

Numérique (16,22 mm)

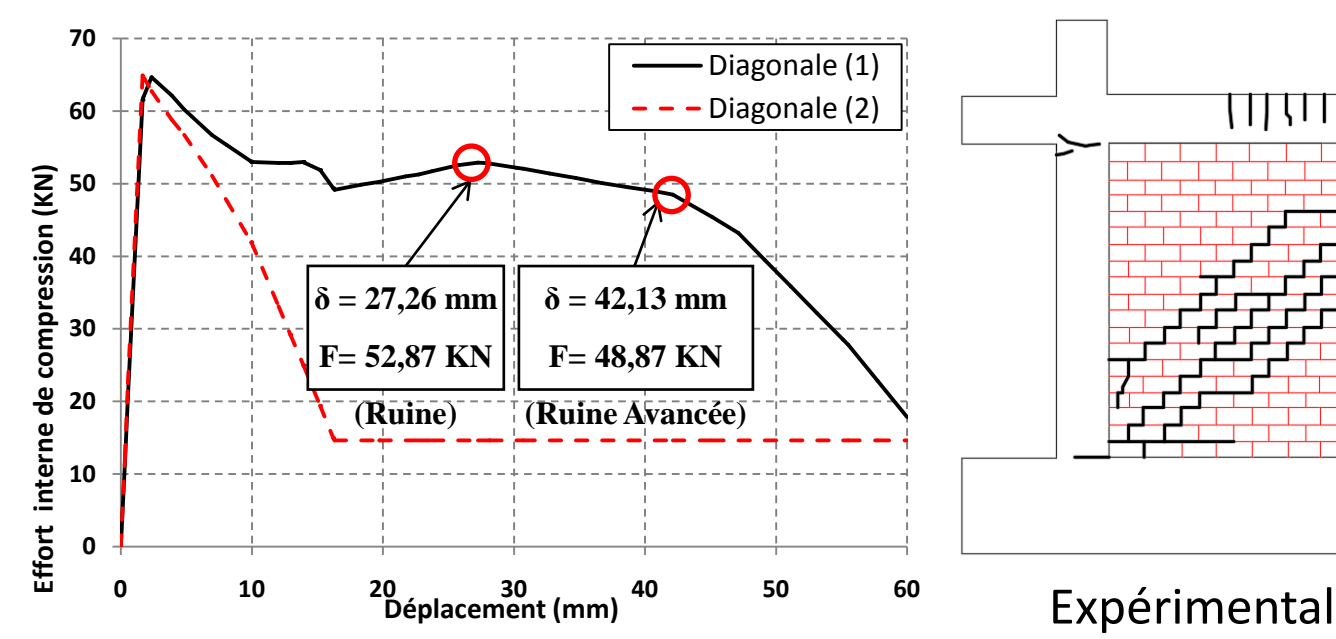


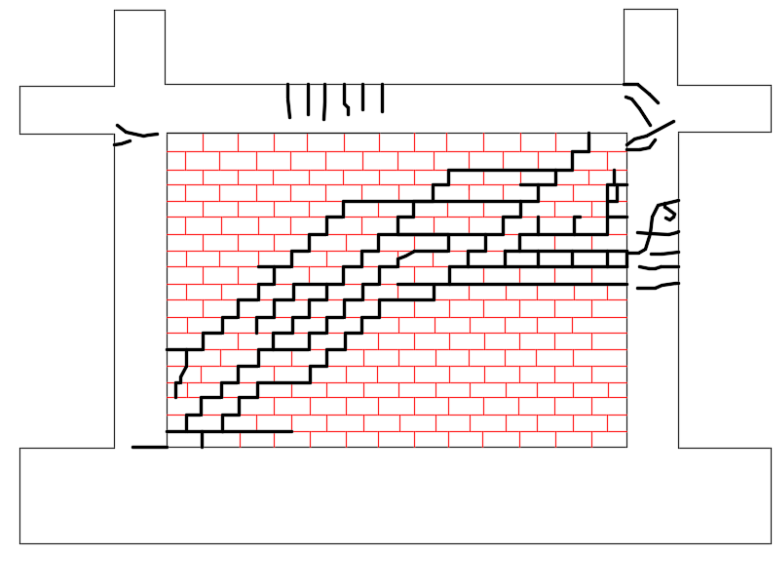


Ressort diagonal **Rotules** That de ruine **Plastiques Rotules** Ressort diagonal **Plastiques** (trat de ruine)

Expérimental (30,50 mm)

Numérique (27,20 mm)





Expérimental (50,80 mm)

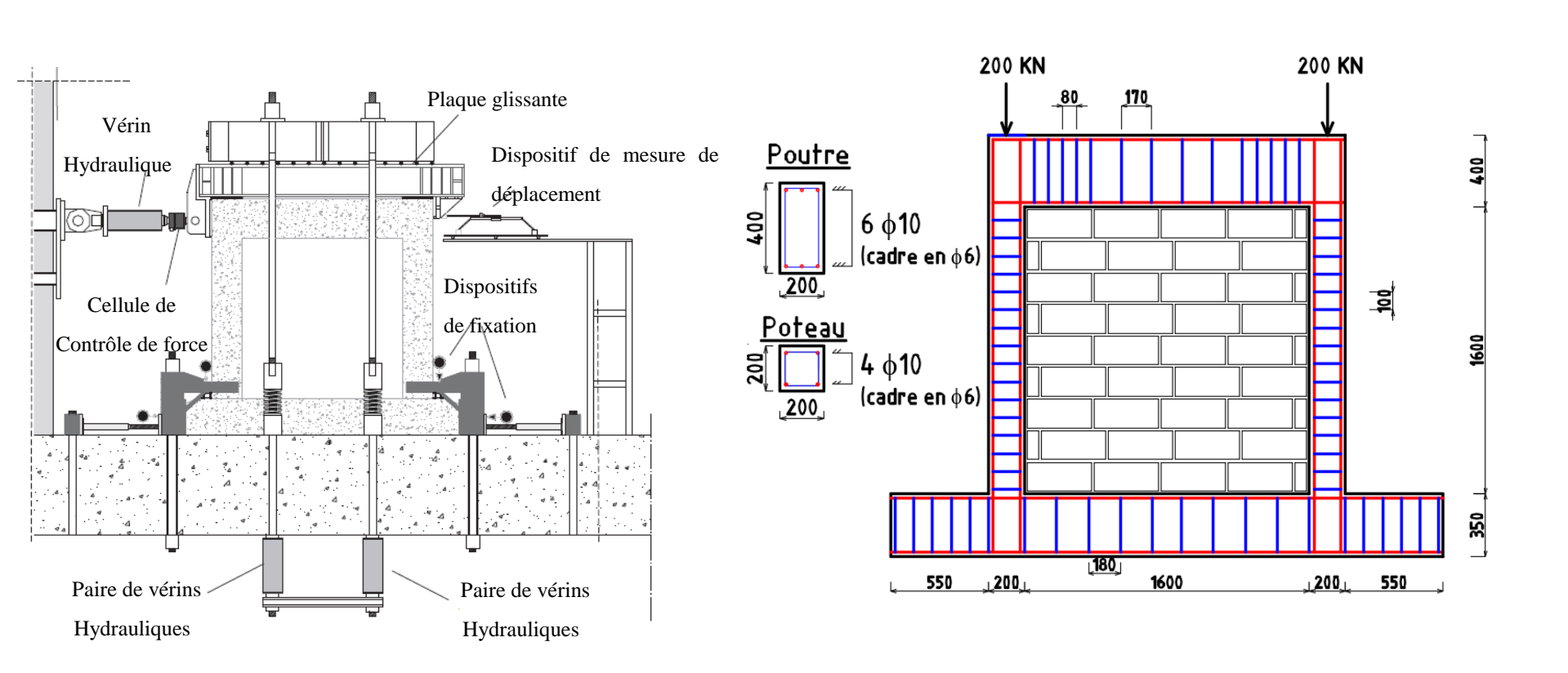
BAMR VS Cadre vide en BA

Résistance du BAMR = $\frac{2}{3}$ Résistance du cadre vide en BA

Rigidité du BAMR = 8 Rigidité du cadre vide en BA

Application 2

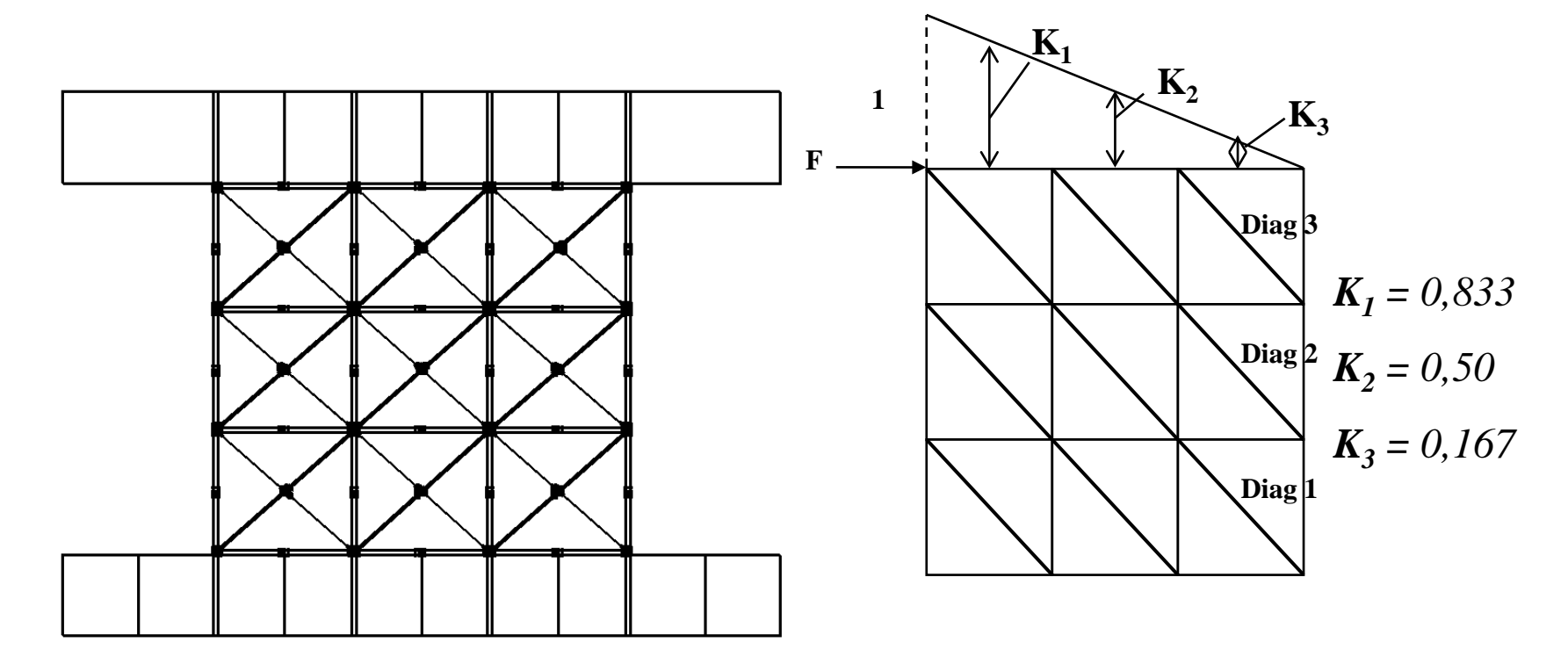
Travaux de L. Cavaleri et F.Di Trapani (2013).

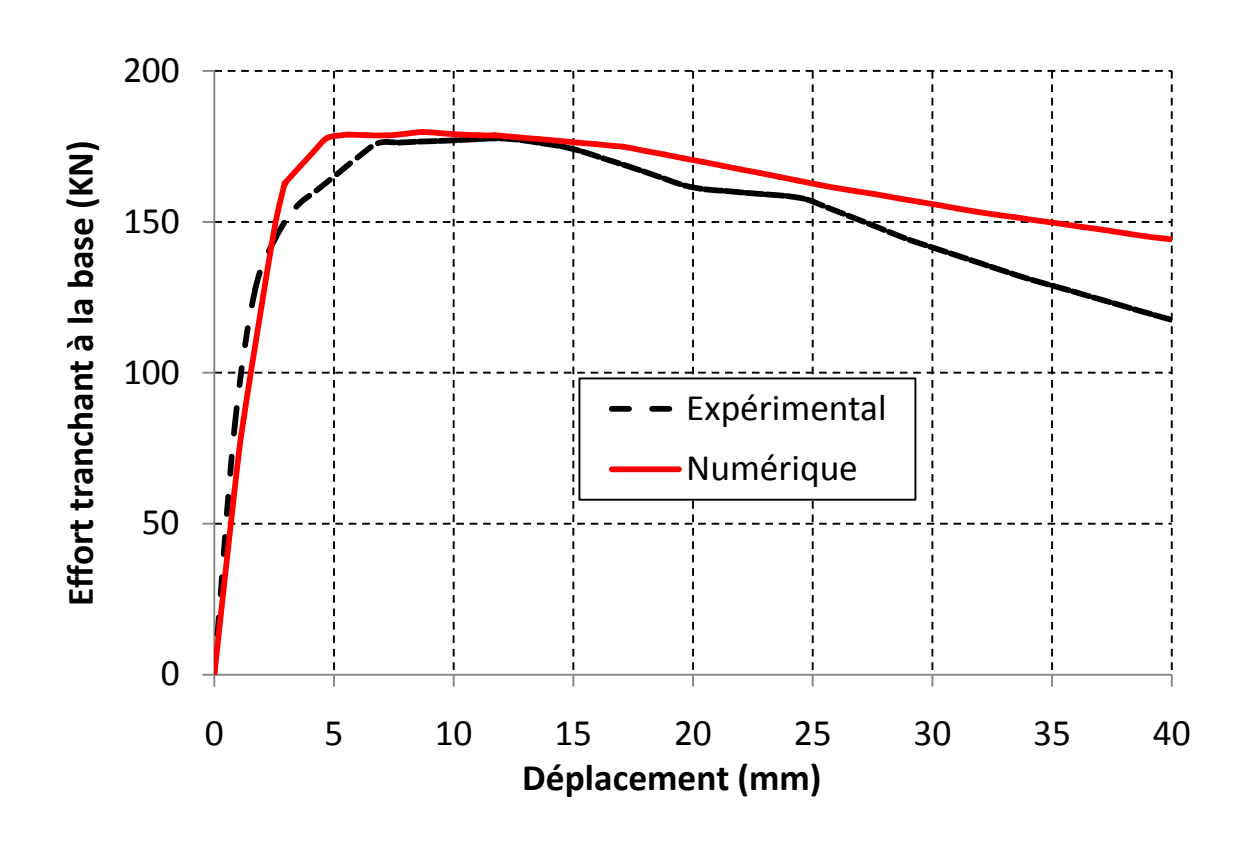


Modèle numérique du BAMR



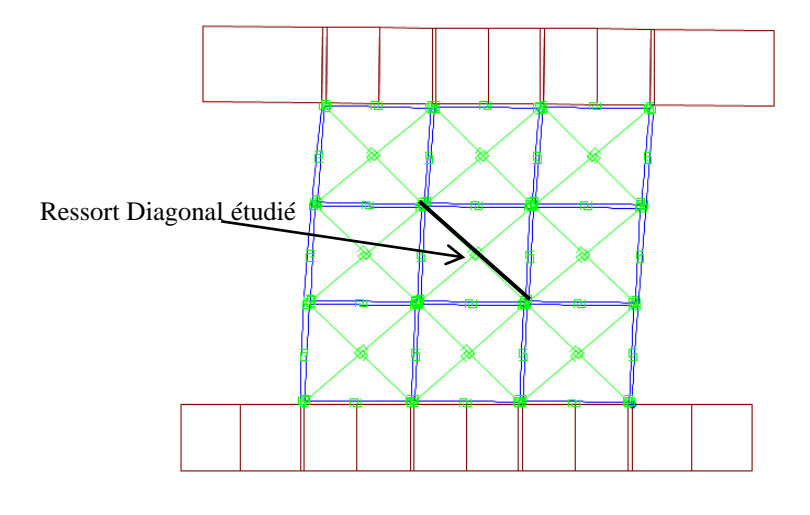
Coefficients réducteurs Ki





[0mm-30 mm] les résultats obtenus sont très proches. La différence en terme de force n'excède pas 10%.

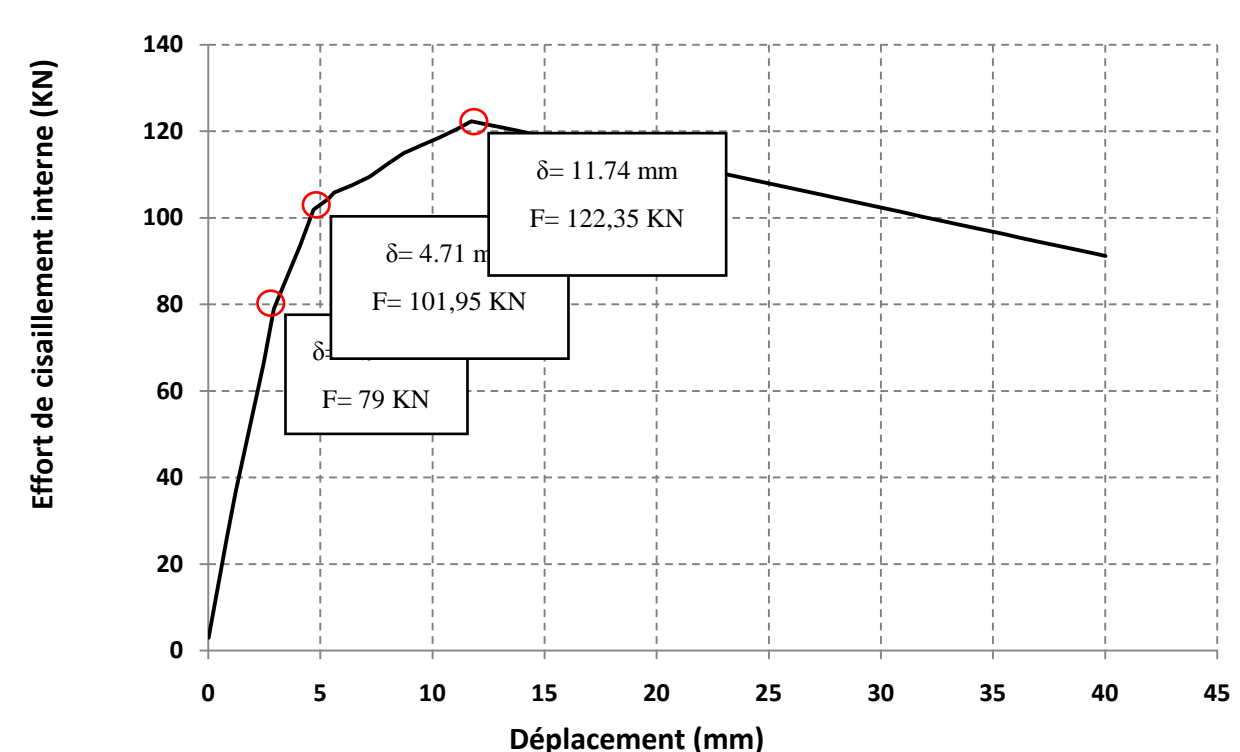
Au delà de 30 mm, les résultats divergent. la différence attient 23% à la fin de l'essai.

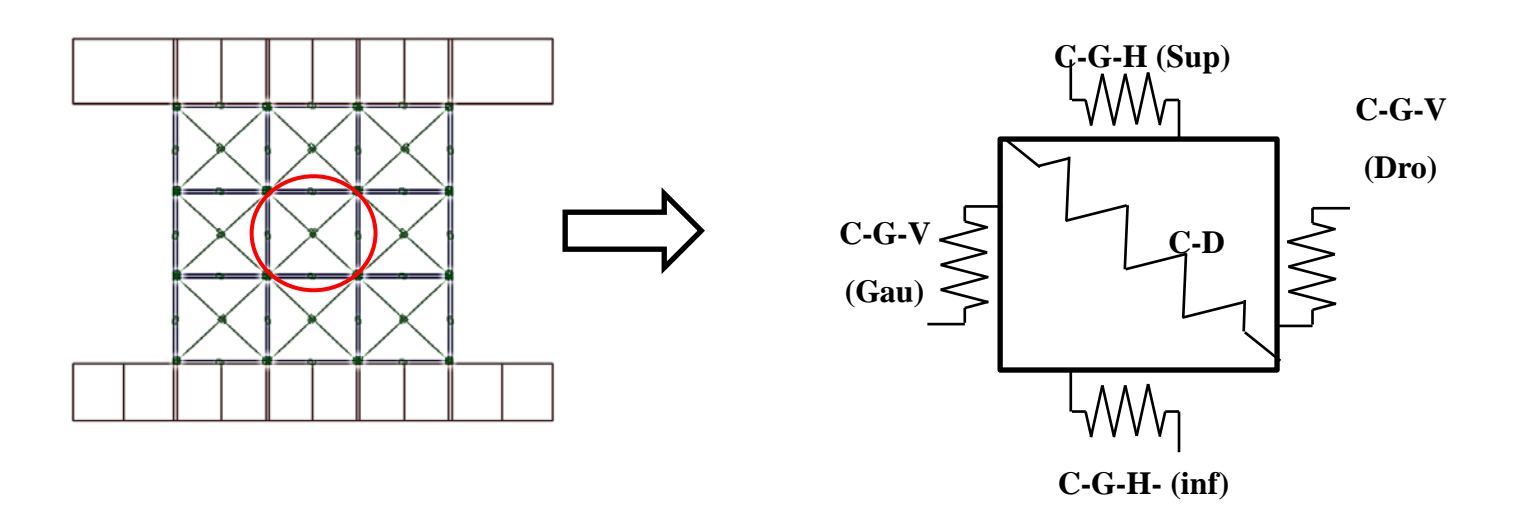


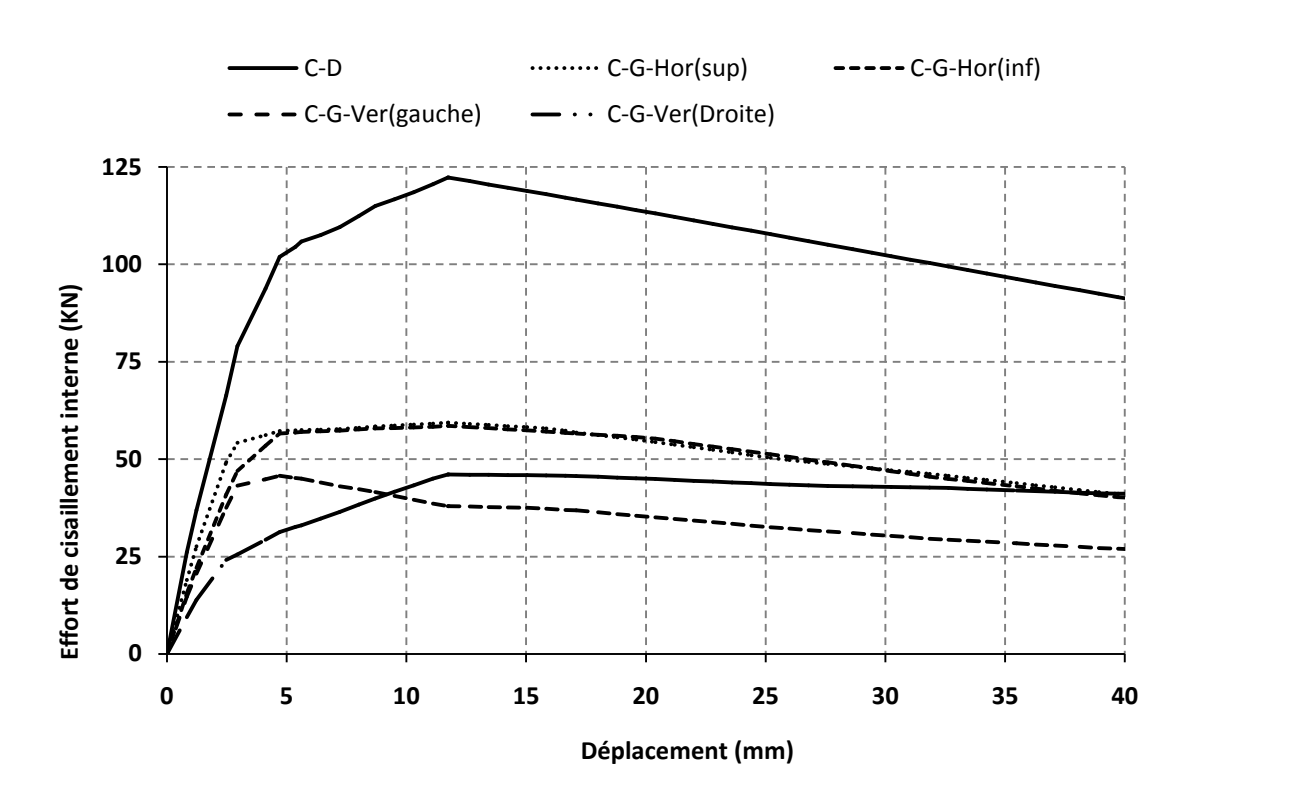
Fin de la phase élastique (2,94 mm)

Fin de la phase Post -élastique (4,71 mm)

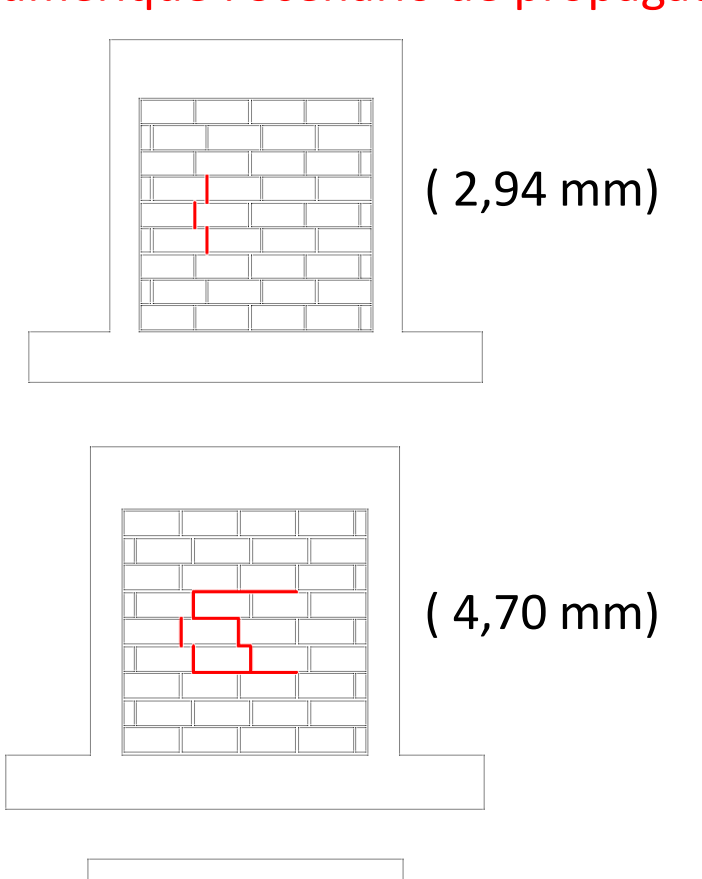
Atteinte de la résistance au cisaillement du Link (11,74 mm)



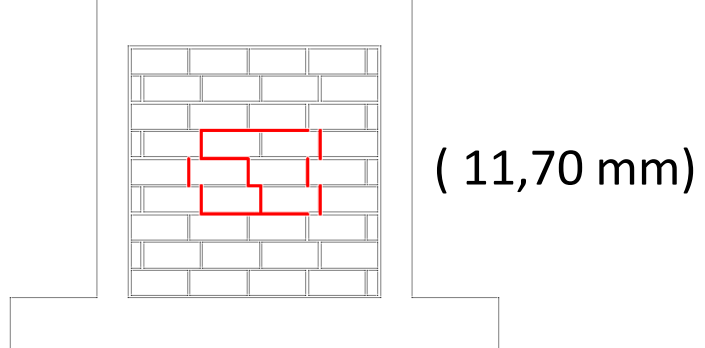




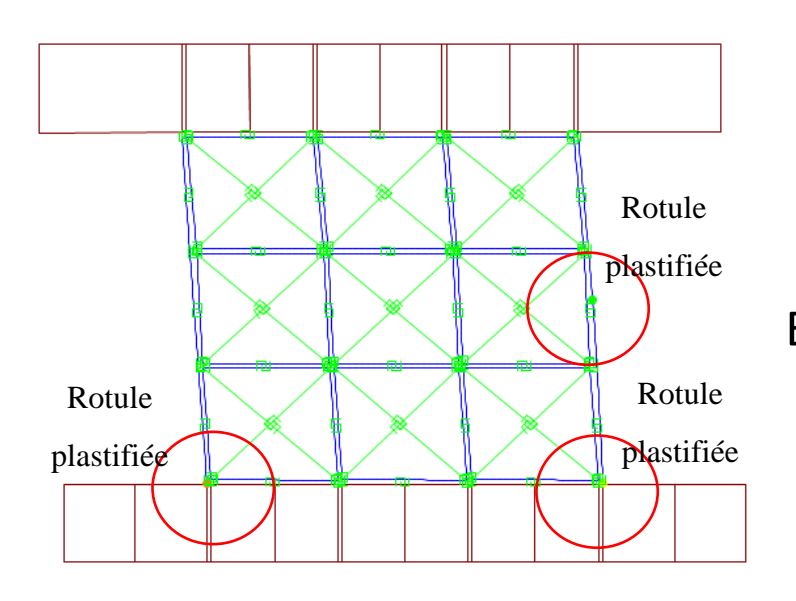
Numérique : Scénario de propagation de fissures au milieu du panneau







Expérimental : État de fissures du spécimen (Fin de l'essai)



Numérique: État de ruine avancée du BAMR (28,70 mm)

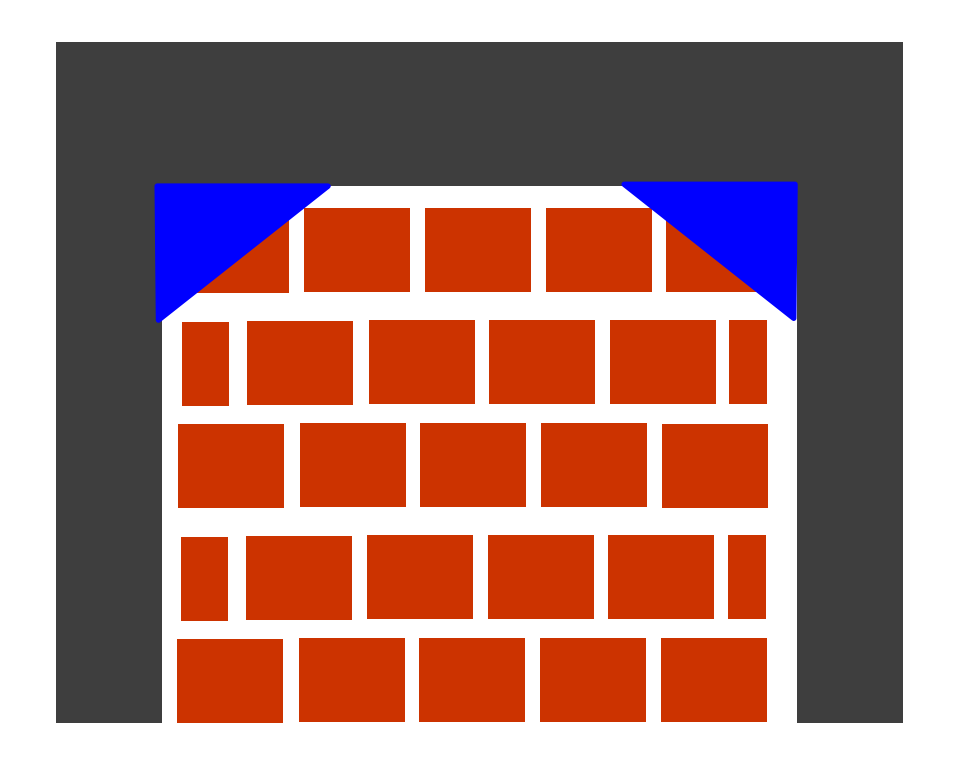
Le spécimen est fondu en:

Le Phodification é esquet réputés Mférterules COMMENTE MENTE LA TERALIRE L'ul popé sinde oit. (Cadre en BA).

- Cisaillement glissant (Ver et Hor) Combiné avec cisaillement diagonal (Remplissage en maçonnerie).

COMPORTEMENT DES CADRES EN BAMR AVEC GOUSSETS (OBJECTIF 2)

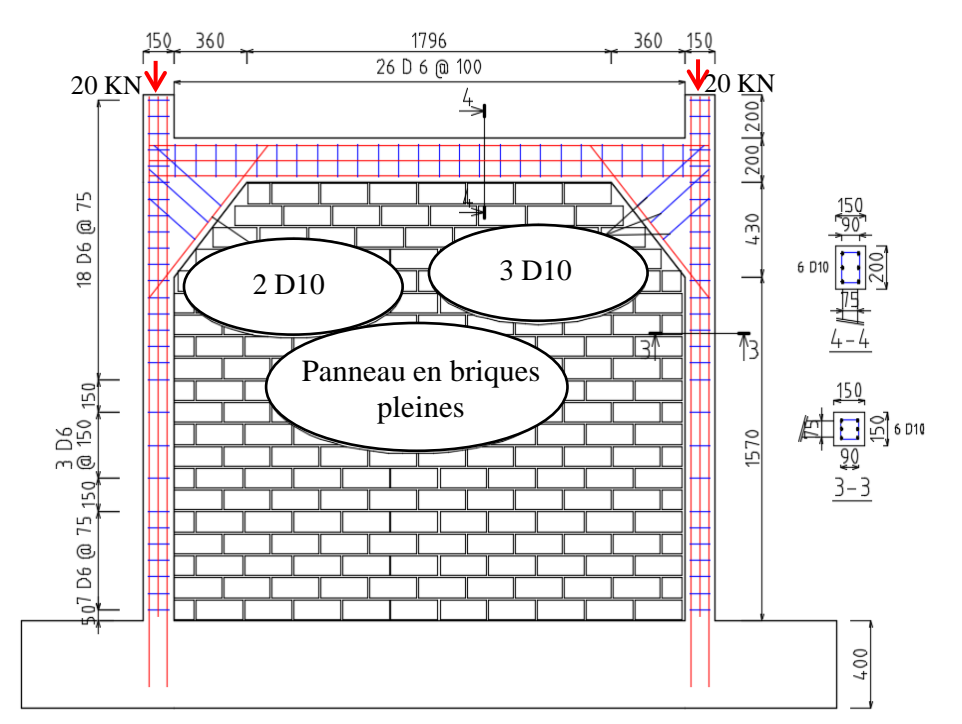
Prévoir des GOUSSETS aux angles du cadre en BAMR.



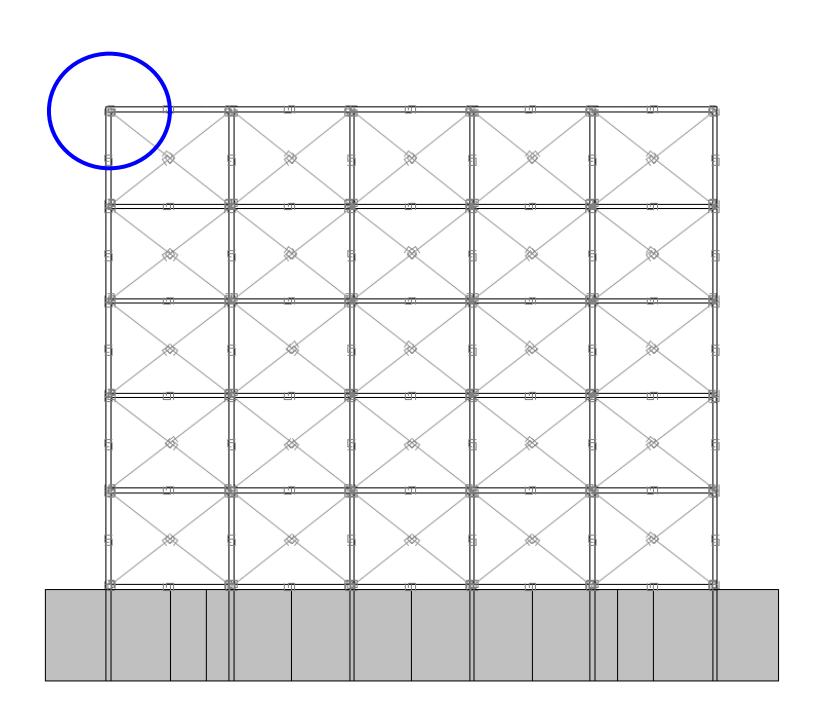
Crisufulli (1997)

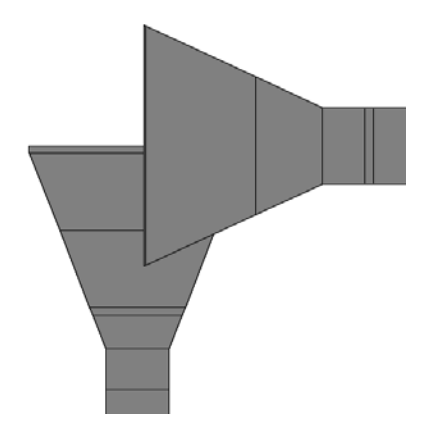
Spécimen étudié

Travaux de Crisufulli (1997)



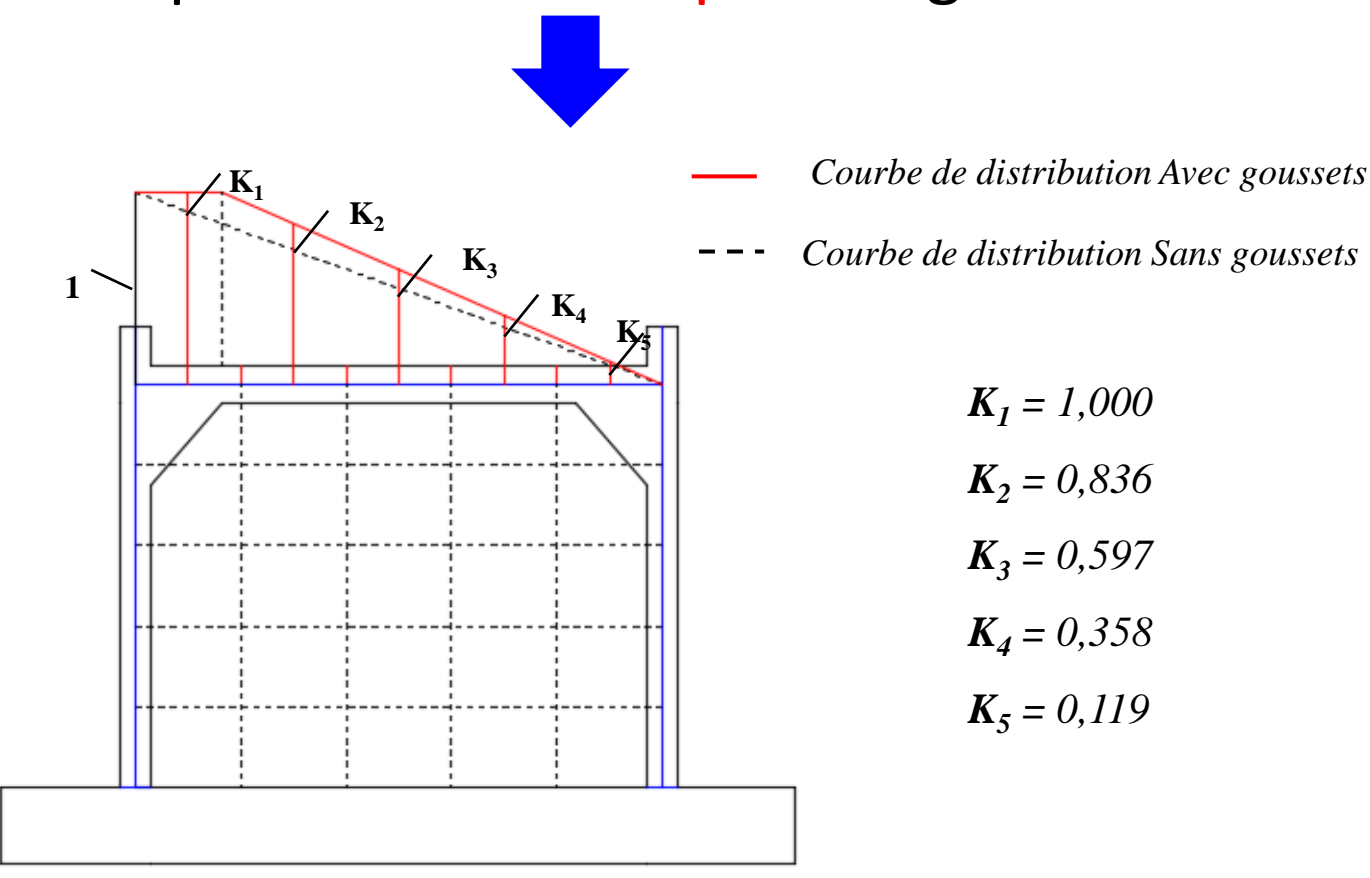
Modèle numérique (Maillage 5X5)



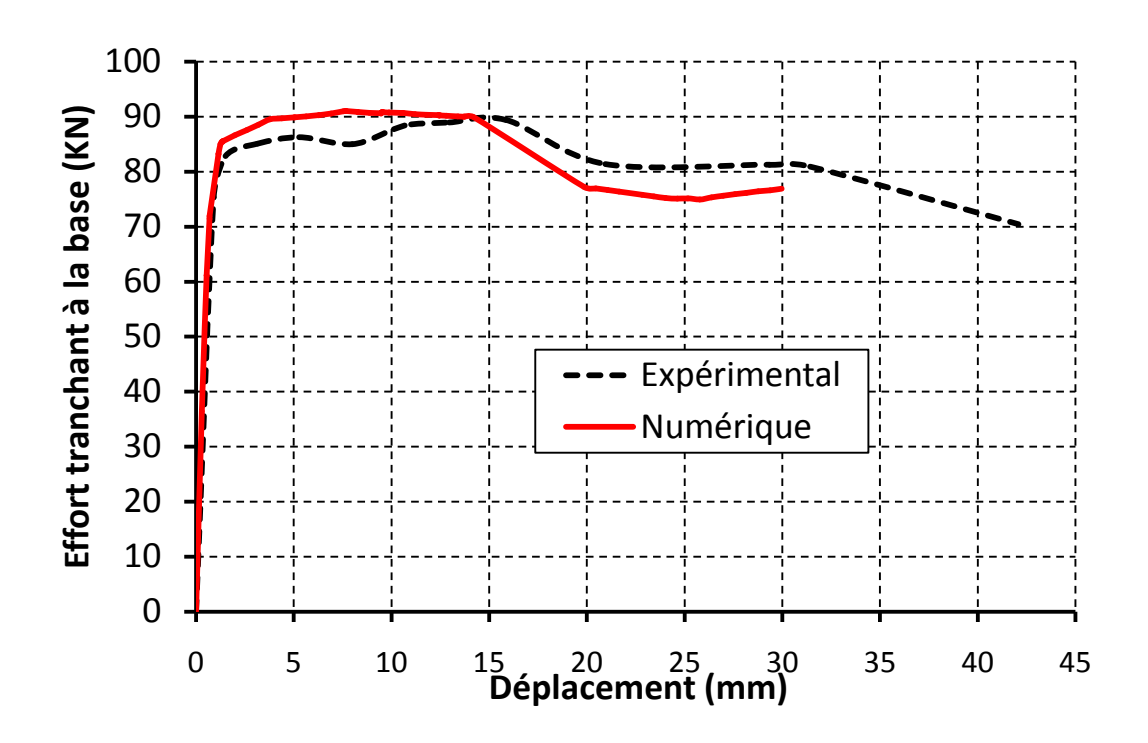


Effet des goussets sur les coefficients réducteurs Hypothèses

- 1- Indéformabilité des zones rigidifiées
- 2- Comportement Élastique des goussets



Résultats

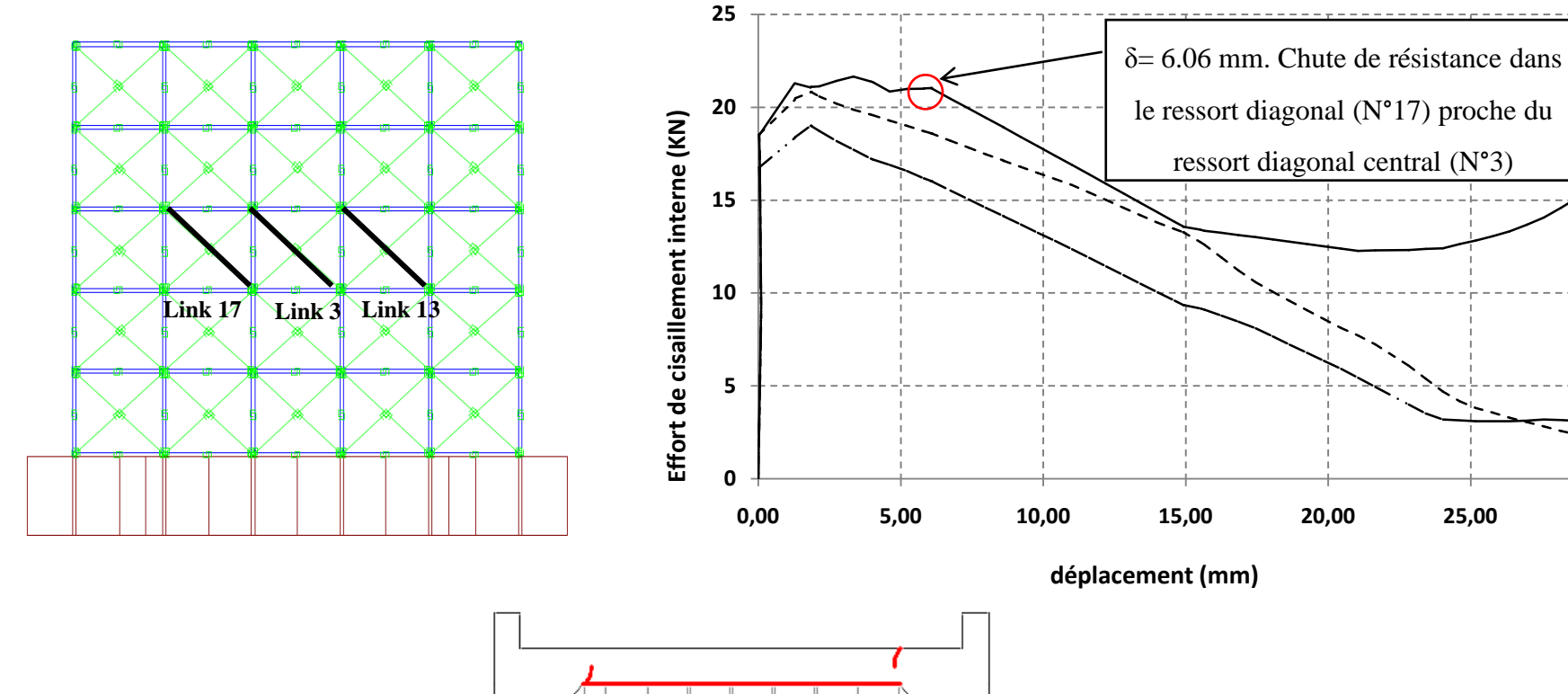


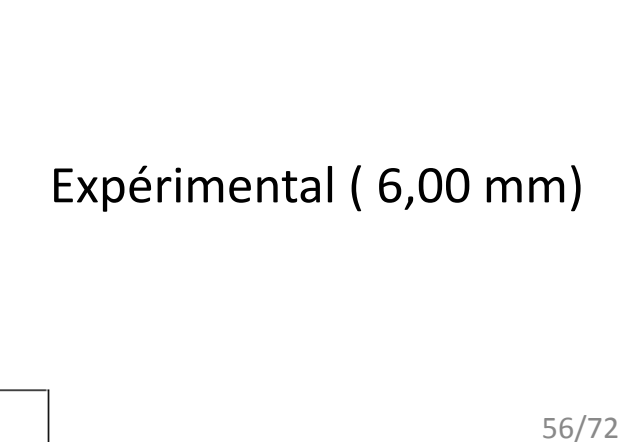
Bonne Convergence des résultats numériques avec les résultats expérimentaux.

les différences fluctuent entre -5 % et 6 %

Scénario de propagation de fissures

Link 17



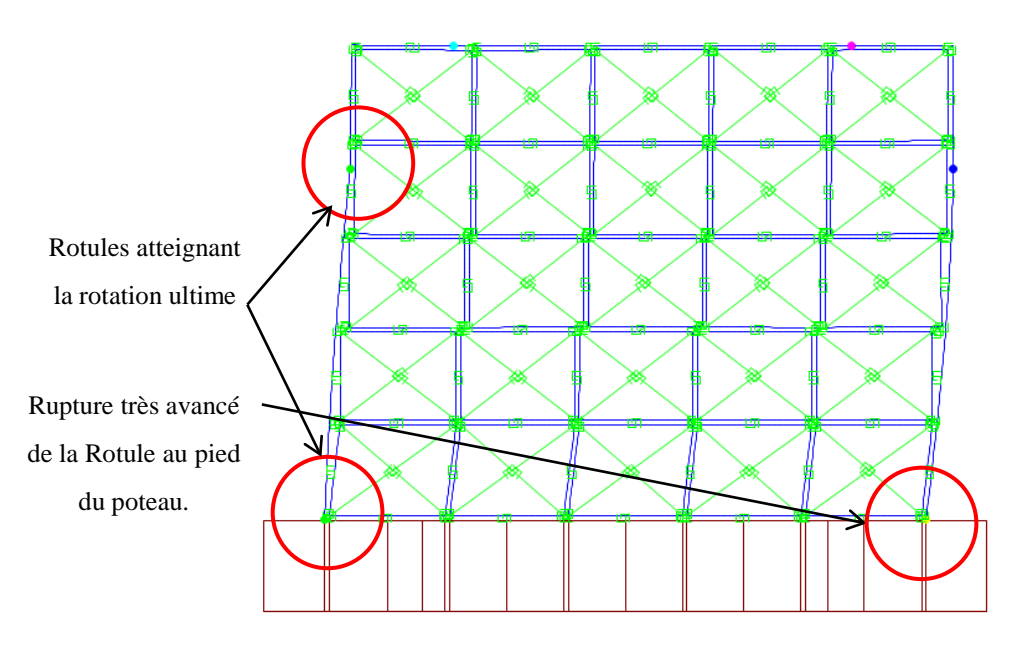


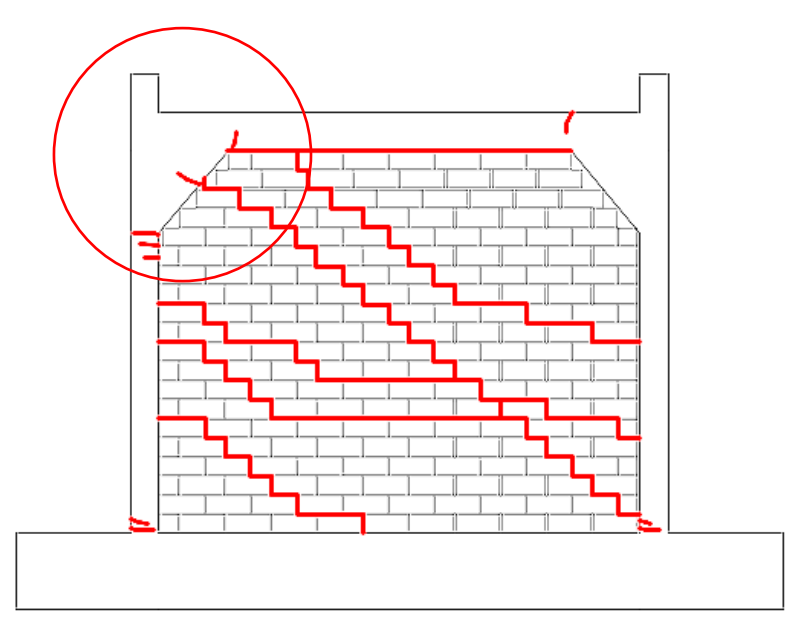
25,00

30,00

- · · - Link 3 - - - - Link 29

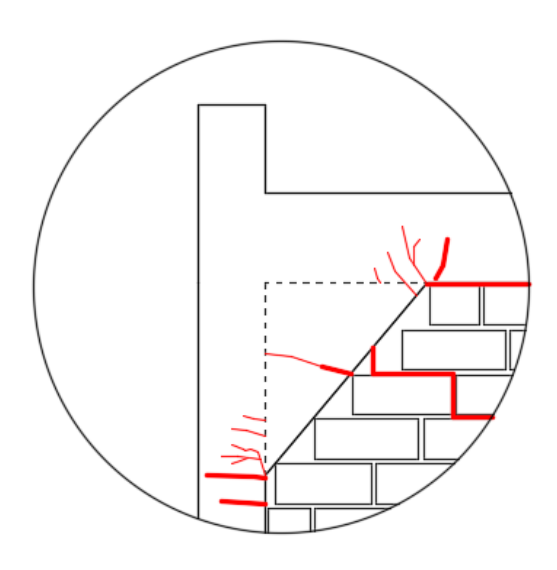
Stade final





Numérique (30,00 mm)

Expérimental (30,00 mm)



INTERPRETATIONS:

Influence des goussets sur le comportement du BAMR

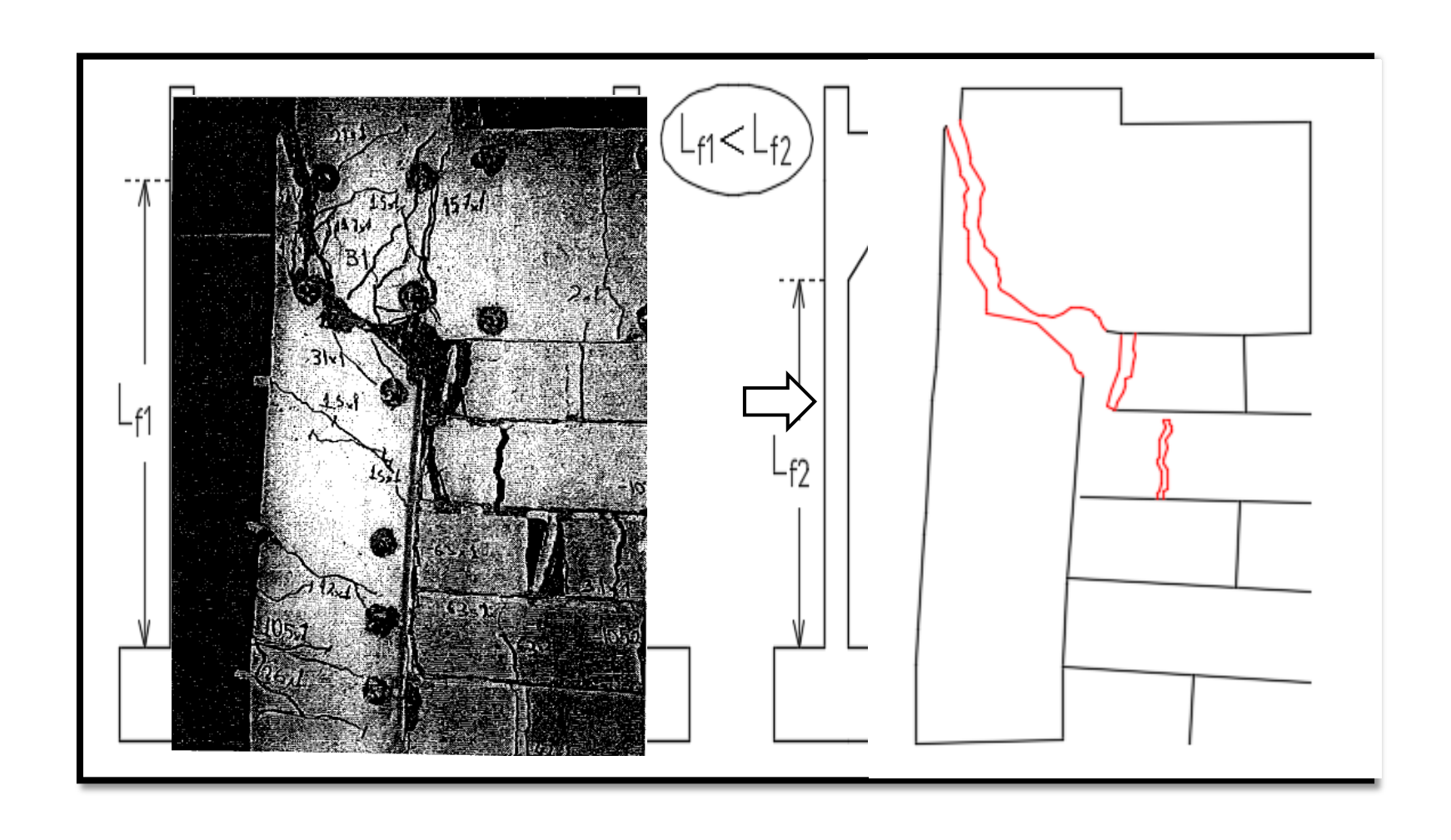




Sur Le Cadre en BA

Sur Le Remplissage

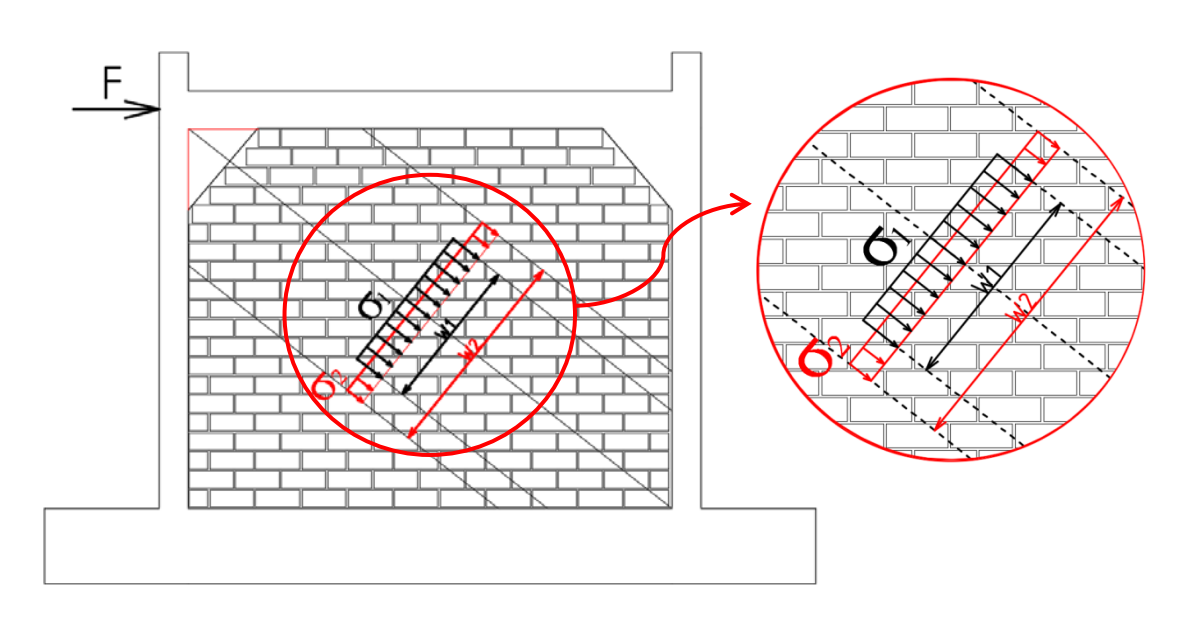
Effet des goussets sur le cadre en BA



Effet du gousset sur le Remplissage

| Influence des goussets en terme de Rigidité Latérale. | | | |
|---|------------------|------------------|--|
| (KN.mm) | | | |
| | Avec remplissage | Sans remplissage | |
| Rigidité Avec goussets | 89,20 | 3,88 | |
| Rigidité Sans goussets | 51,01 | 2,34 | |
| Différence | 85,32 | 48,67 | |
| Taux d'augmentation (%) | 75,30 | | |

| Influence des goussets en terme de Résistance. | | | |
|--|------------------|------------------|--|
| (KN) | | | |
| | Avec remplissage | Sans remplissage | |
| Résistance Avec goussets | 91,03 | 21,03 | |
| Résistance Sans goussets | 72,93 | 16,48 | |
| Différence | 70 | 56,45 | |
| Taux d'augmentation (%) | 24,00 | | |



CONCLUSIO N GÉNÉRALE

Le comportement sismique des BAMR est régit principalement par l'interaction des panneaux en maçonnerie avec les cadres en béton armé.

Le modèle numérique proposé a pu fournir des résultats proches des résultats expérimentaux des deux spécimens étudiés et il a Aussi pu prévoir leurs mécanismes de rupture. Le remplissage en maçonnerie influe considérablement sur la résistance du cadre ainsi sur sa rigidité latérale

Les goussets contribuent considérablement dans l'amélioration du comportement sismique du BAMR. (protègent les nœuds vis-à-vis du cisaillement et assurent aussi une dégradation progressive du BAMR)

RECOMMANDATIONS

Compléter le modèle proposé pour étudier le comportement cyclique ou dynamique des BAMR.

Faire une étude paramétrique sur un BAMR avec différentes configurations des goussets.

Étudier l'efficacité des goussets comme une solution de renforcement des constructions en BAMR endommagées par des séismes.

